

การดูดซึมและการปล่อยโมเลกุลของสีข้อมูลจากไฮโดรเจล
แบบเพื่อเดี่ยวและแบบสองเพลส

UPTAKE AND RELEASE OF DYE MOLECULE INTO
MONO-BIPHASE HYDROGELS

นายพุฒิพงษ์ มหาชัย รหัส 53364215

วันที่ออกใบอนุญาตฯ	23.11.57
เลขที่ใบอนุญาตฯ	16549433
หน่วยงานผู้จัด	บศ.
มหาวิทยาลัยแม่ฟ้า	41824 1 2556

ปริญญานิพนธ์นี้เป็นส่วนหนึ่งของการศึกษาหลักสูตรปริญญาวิศวกรรมศาสตรบัณฑิต
สาขาวิชาวิศวกรรมเคมี ภาควิชาวิศวกรรมอุตสาหการ
คณะวิศวกรรมศาสตร์ มหาวิทยาลัยแม่ฟ้า
ปีการศึกษา 2556



ใบรับรองปริญญาบัณฑิต

ชื่อหัวข้อโครงการ การคุ้มครองและการปลดปล่อยโน้ตเก็ลของสีีย้อมจากไฮโดรเจลแบบเฟสเดียว และแบบสองเฟส

ผู้ดำเนินโครงการ นายพุฒิพงษ์ มหาชัย รหัส 53364215
ที่ปรึกษาโครงการ ดร.นพวรรณ ไม้ทอง
ที่ปรึกษาร่วมโครงการ ดร.แกรร์เร็ธ ไมเคิล รอส
สาขาวิชา วิศวกรรมเคมี
ภาควิชา วิศวกรรมอุตสาหการ
ปีการศึกษา 2556

คณะกรรมการศาสตร์ มหาวิทยาลัยนเรศวร อนุมัติให้ปริญญาบัณฑิตบันนี้เป็นส่วนหนึ่งของการศึกษาตามหลักสูตรวิศวกรรมศาสตรบัณฑิต สาขาวิชาเคมี

.....ที่ปรึกษาโครงการ

(ดร.นพวรรณ ไม้ทอง)

.....กรรมการ

(ดร.อิศราวด ประเสริฐสังข์)

.....กรรมการ

(อาจารย์อาภาภรณ์ จันทร์ปรักษ์)

.....กรรมการ

(ดร.ภัณรัตน์ จันธรรม)

.....กรรมการ

(ดร.นิคม กลมเกลี้ยง)

ชื่อหัวข้อโครงการ	การดูดซึมและการปลดปล่อยโมเลกุลของสีเย้อมจากไฮโดรเจลแบบเฟสเดียว และแบบสองเฟส		
ผู้ดำเนินโครงการ	นายพุฒิพงษ์	มหาชัย	รหัส 53364215
ที่ปรึกษาโครงการ	ดร.นพวรรณ	โน้ตอง	
ที่ปรึกษาร่วมโครงการ	ดร.แกร็บเบอร์ ไมเคิล รอส		
สาขาวิชา	วิศวกรรมเคมี		
ภาควิชา	วิศวกรรมอุตสาหการ		
ปีการศึกษา	2556		

บทคัดย่อ

งานวิจัยนี้เป็นการศึกษาการนำสีเย้อมทั้ง 3 ชนิด ได้แก่ สีเย้อม Violet สีเย้อม Orange II และ สีเย้อม Congo Red ที่มีสมบัติทางโครงสร้างและขนาดมวลโมเลกุลลักษณะคล้ายคลึงกัน โดยจะใช้สีเย้อมเป็นตัวเปรียบเทียบแทนตัวยาซึ่งมียาหล่ายานนิดที่มีขนาดโมเลกุลใกล้เคียงกับสีเย้อมข้างต้น จากการทดลอง การดูดซับสีเย้อมโดยใช้ความเข้มข้นเริ่มต้นในการดูดซับแผ่นไฮโดรเจลที่ความเข้มข้น 0.01 0.05 0.1 และ 1 %w/v พบร่วมกับการดูดซับสีเย้อมทั้ง 3 ชนิด เริ่มเข้าสู่สมดุลที่ 24 ชั่วโมง โดยสีเย้อม Violet ให้ค่าการดูดซับมากที่สุดตามด้วยสีเย้อม Orange II และสีเย้อม Congo Red ให้ค่าการดูดซับน้อยที่สุด สำหรับการทดลองการปลดปล่อยสีเย้อมออกจากไฮโดรเจลแบบเฟสเดียวและแบบสองเฟสโดยเลือกพิจารณาที่ความเข้มข้นการดูดซับเริ่มต้นที่ 0.01 %w/v เพราะที่การปลดปล่อยแบบสองเฟสความเข้มข้นของการดูดซับเริ่มต้น 0.01 %w/v แสดงฟิคค่าการดูดกลืนแสงเพียงฟิคเดียวของการวัดเครื่อง UV-Vis Spectrophotometer พบร่วมกับการดูดซับสีเย้อมที่สูงกว่า ณ เวลาเริ่มเข้าสู่สมดุลที่เวลา 24 ชั่วโมง โดยสีเย้อม Orange II ให้ค่าการปลดปล่อยมากสุด คือ $1.511 \text{ mg}/100 \text{ ml}$ ตามด้วยสีเย้อม Violet คือ $0.144 \text{ mg}/100 \text{ ml}$ และสีเย้อม Congo Red ให้ค่าการปลดปล่อยน้อยที่สุด คือ $0.0798 \text{ mg}/100 \text{ ml}$ นั่นเป็นเพราะขนาดมวลโมเลกุลที่แตกต่างกัน และสำหรับการทดลองการปลดปล่อยสีเย้อมแบบเฟสเดียว พบร่วมกับเวลาเริ่มเข้าสู่สมดุล สีเย้อม Violet ให้ค่าการปลดปล่อยมากที่สุด คือ $1.669 \text{ mg}/100 \text{ ml}$ สีเย้อม Orange II คือ $0.828 \text{ mg}/100 \text{ ml}$ และสีเย้อม Congo Red ให้ค่าการปลดปล่อยน้อยที่สุด คือ $0.0602 \text{ mg}/100 \text{ ml}$ สำหรับในงานวิจัยนี้สีเย้อมที่เหมาะสมที่สุดจากทั้งหมด 3 สี ในการนำมาเปรียบเทียบแทนตัวยา คือ สีเย้อม Orange II แม้ว่าสีเย้อม Violet จะให้ค่าในการปลดปล่อยโมเลกุลของสีเย้อมมากที่สุดของ การทดลองการปลดปล่อยสีเย้อมแบบเฟสเดียว แต่เนื่องด้วยสีเย้อม Violet มีสมบัติในการย้อมติดสีมากเกิน จึงไม่เหมาะสมในการเปรียบเทียบตัวยา อย่างไรก็ตาม การเลือกสีเย้อม Orange II ไปประยุกต์ใช้เพื่อเป็นตัวเปรียบเทียบแทนตัวยาอาจต้องมีการปรับเปลี่ยนวิธีการวัดเพื่อให้ได้ประสิทธิภาพดีที่สุด

กิตติกรรมประกาศ

คณะกรรมการของสถาบันฯ ได้รับการยินยอมจาก ดร.นพวรรณ ไม้ทอง อาจารย์ที่ปรึกษาและ ดร. แกรร์เร็ธ ไมเคิล รอส อาจารย์ที่ปรึกษาร่วมปริญญาในพิพิธภัณฑ์ ที่ได้แสดงเวลาให้ความรู้ คำปรึกษา และคำเสนอแนะที่ดี ตลอดจนตรวจแก้ไขข้อบกพร่องของปริญญาในพิพิธภัณฑ์ฉบับนี้จนสำเร็จ สมบูรณ์ลง ด้วยดี

ขอขอบพระคุณ อาจารย์และเจ้าหน้าที่ห้องปฏิบัติการวิศวกรรมอุตสาหการทุกท่านที่อำนวย ความสะดวกในการทดลอง ให้ความช่วยเหลือและคำปรึกษาในการใช้งานเครื่องมือต่างๆ เป็นอย่างดี

ขอบคุณเพื่อนๆ พี่ๆ น้องๆ ที่เคยช่วยเหลือและเป็นกำลังใจในการทำปริญญาในพิพิธภัณฑ์ฉบับนี้จน สำเร็จลุล่วงไปด้วยดี

สุดท้ายนี้ขอกราบขอบพระคุณบิดา มารดา และครอบครัวทุกท่านที่ให้โอกาสทางการศึกษา ค่อยสนับสนุนทั้งทางด้านกำลังทรัพย์และเป็นกำลังใจที่ดีเสมอมาตลอดการศึกษาจนประสบความสำ- เร็จและอึกทั้งท่านที่ไม่ได้อายนามในครั้งนี้ ขอขอบคุณไว้ ณ ที่นี่ด้วย

ผู้ดำเนินโครงการ
นายพุฒิพงษ์ มหาชัย

มีนาคม 2556

สารบัญ

	หน้า
ใบรับรองปริญญาบัตร.....	ก
บทคัดย่อ.....	ข
กิตติกรรมประกาศ.....	ค
สารบัญ	ง
สารบัญตาราง	น
สารบัญรูป.....	ฯ
บทที่ 1 บทนำ.....	1
1.1 ความเป็นมาและความสำคัญของโครงการ	1
1.2 วัตถุประสงค์ของโครงการ	2
1.3 ขอบเขตการดำเนินโครงการ	2
1.4 สถานที่ในการดำเนินโครงการ.....	3
1.5 ระยะเวลาในการดำเนินโครงการ.....	3
1.6 ขั้นตอนและแผนการดำเนินโครงการ.....	3
บทที่ 2 หลักการและทฤษฎี.....	4
2.1 หลักการพื้นฐานเกี่ยวกับไฮโดรเจล	4
2.1.1 ประเภทของไฮโดรเจล.....	4
2.1.2 สมบัติของไฮโดรเจล	5
2.1.3 ปัจจัยที่มีผลต่อการพองตัวของไฮโดรเจล.....	5
2.2 ลักษณะและสมบัติของไฮโดรเจลที่เหมาะสมประยุกต์ใช้เป็นวัสดุปิดแผล	7
2.3 สีย้อม.....	8
2.3.1 ประเภทของสีย้อม.....	8
2.4 หลักการแพร่ของสาร	9
2.4.1 กลไกการแพร่.....	9
2.4.2 การแพร่ในสถานะไม่คงตัว.....	11
2.4.3 ปัจจัยที่ควบคุมการแพร่ของสาร	11
2.5 หลักการทำงานเครื่อง UV-Vis Spectrophotometer	12
2.6 งานวิจัยที่เกี่ยวข้อง.....	13

สารบัญ (ต่อ)

	หน้า
บทที่ 3 วิธีดำเนินโครงการ.....	16
3.1 วัสดุตั้งต้นและสารเคมี.....	16
3.2 อุปกรณ์และเครื่องมือ.....	16
3.3 การเตรียมสารละลาย.....	16
3.4 แผนการดำเนินงานโดยสังเขป.....	17
3.5 ขั้นตอนการปฏิบัติงาน.....	18
3.6 โครงสร้างโน้ตเกล็อกของสีย้อมเปรียบเทียบตัวยา.....	23
บทที่ 4 ผลการทดลองและวิเคราะห์.....	24
4.1 ผลการเตรียมสารละลายมาตรฐานของสีย้อม.....	24
4.2 ผลการดูดซับโน้ตเกล็อกของสีย้อมที่เวลาสมดุล 24 ชั่วโมง.....	27
4.3 ผลการศึกษาการลดปล่อยโน้ตเกล็อกของสีย้อมออกจากแผ่นไฮโดรเจล.....	28
4.4 ผลกระทบของสีย้อม.....	37
4.5 ผลกระทบของความเข้มข้นเริ่มต้น.....	38
บทที่ 5 บทสรุปและข้อเสนอแนะ.....	39
5.1 บทสรุป.....	39
5.2 ข้อเสนอแนะ.....	40
เอกสารอ้างอิง.....	41
ภาคผนวก ก	42
ภาคผนวก ข	47
ภาคผนวก ค	52
ภาคผนวก ง	56
ภาคผนวก จ	60
ภาคผนวก ฉ	62
ภาคผนวก ช	67

สารบัญตาราง

ตารางที่	หน้า
1.1 ขั้นตอนและแผนการดำเนินโครงการ	3
3.1 การเตรียมตัวของผู้ร่วมงาน	23
4.1 แสดงผลการคุณภาพสีเหลืองและตัวยา	27
ก.1 ข้อมูลการสร้างกราฟมาตรฐานของสีเหลือง Congo Red	44
ก.2 ข้อมูลการสร้างกราฟมาตรฐานของสีเหลือง Orange II	45
ก.3 ข้อมูลการสร้างกราฟมาตรฐานของสีเหลือง Violet	46
ช.1 แสดงการคุณภาพสีเหลืองทั้ง 3 ชนิดที่ความเข้มข้นเริ่มต้น 0.01 %w/v	48
ช.2 แสดงการคุณภาพสีเหลืองทั้ง 3 ชนิดที่ความเข้มข้นเริ่มต้น 0.05 %w/v	49
ช.3 แสดงการคุณภาพสีเหลืองทั้ง 3 ชนิดที่ความเข้มข้นเริ่มต้น 0.1 %w/v	50
ช.4 แสดงการคุณภาพสีเหลืองทั้ง 3 ชนิดที่ความเข้มข้นเริ่มต้น 1 %w/v	51
ค.1 แสดงการปลดปล่อยไมเลกุลสีเหลือง Congo Red แบบสองเฟส	53
ค.2 แสดงการปลดปล่อยไมเลกุลสีเหลือง Orange II แบบสองเฟส	54
ค.3 แสดงการปลดปล่อยไมเลกุลสีเหลือง Violet แบบสองเฟส	55
ก.1 แสดงการปลดปล่อยไมเลกุลสีเหลือง Congo Red แบบเฟสเดียว	57
ก.2 แสดงการปลดปล่อยไมเลกุลสีเหลือง Orange II แบบเฟสเดียว	58
ก.3 แสดงการปลดปล่อยไมเลกุลสีเหลือง Violet แบบเฟสเดียว	59

สารบัญรูป

รูปที่	หน้า
2.1 การเปลี่ยนแปลงของสายโซ่พอลิเมอร์เมื่อเกิดการพองตัวโดยมีการแพร่ผ่านโนเลกูลน้ำเข้าไปภายในโครงสร้างของไฮโดรเจล.....	6
2.2 อันตรกิริยาของโนเลกูลของน้ำในโครงสร้างไฮโดรเจล.....	7
2.3 กระบวนการแพร่ของทองแดง (Cu) สูนิกเกล (Ni) โดยกระบวนการแพร่ เกิดขึ้นแบบสุ่ม (Random)	10
2.4 (ก) กลไกการแพร่แบบซ่องว่าง (ข) กลไกการแพร่แบบแทรกที่	10
2.5 การแพร่ของอะตอนสูพิวของวัสดุซึ่งเป็นไปตามกฎข้อที่สองของพิค	11
2.6 องค์ประกอบเครื่อง UV-Vis Spectrophotometer	12
3.1 แผนการดำเนินงานโดยสังเขป	17
3.2 การสร้างกราฟมาตรฐานเพื่อวิเคราะห์หาความเข้มข้นของสารตัวอย่าง	18
3.3 การเตรียมส่วนผสมเพื่อขึ้นรูปไฮโดรเจล	18
3.4 ส่วนผสมไฮโดรเจลที่ฉีดลงในแม่แบบที่เตรียมไว้	19
3.5 แผ่นไฮโดรเจลพร้อมใช้	19
3.6 ตัวอย่างการแซะแผ่นไฮโดรเจลในสารละลายสีย้อมที่เตรียมไว้	20
3.7 การศึกษาปริมาณการดูดซึบของแผ่นไฮโดรเจล	20
3.8 ตัวอย่างแผ่นไฮโดรเจลที่ดูดซึบสีย้อมสมดุลแซ่บในน้ำกลันปริมาตร 3 มิลลิลิตร	21
3.9 ตัวอย่างน้ำกลันที่มีสารละลายสีย้อมปลดปล่อยจากแผ่นไฮโดรเจลที่เวลา 5 ชั่วโมง	21
3.10 การทดสอบการปลดปล่อยสารละลายสีย้อมในน้ำกลัน	22
3.11 ตัวอย่างการวางแผนทับแผ่นไฮโดรเจล	22
3.12 การทดสอบการปลดปล่อยสารละลายสีย้อม โดยใช้แผ่นไฮโดรเจลวางทับกัน	22
4.1 กราฟมาตรฐานของสีย้อม Congo Red.....	24
4.2 กราฟมาตรฐานของสีย้อม Orange II	25
4.3 กราฟมาตรฐานของสีย้อม Violet.....	26
4.4 กราฟแสดงการปลดปล่อยโนเลกูลสีย้อมทั้ง 3 ชนิดแบบสองเฟส ที่ความเข้มข้นเริ่มต้นการดูดซึ่ง 0.01 %w/v.....	28

สารบัญรูป (ต่อ)

รูปที่	หน้า
4.5 กราฟแสดงการปลดปล่อยโมเลกุลสีเย้อมทั้ง 3 ชนิดแบบสองเฟส ที่ความเข้มข้นเริ่มต้นการดูดซึม 0.05 %w/v.....	29
4.6 กราฟแสดงการเปรียบเทียบค่าการดูดกลืนแสงที่มีจำนวนมากกว่าหนึ่งพีค ^{(ก) มีจำนวนมากกว่าหนึ่งพีค (ข) มีจำนวนหนึ่งพีค}	30
4.7 กราฟแสดงการปลดปล่อยโมเลกุลสีเย้อมทั้ง 3 ชนิดแบบสองเฟส ที่ความเข้มข้นเริ่มต้นการดูดซึม 0.1 %w/v.....	31
4.8 กราฟแสดงการปลดปล่อยโมเลกุลสีเย้อมทั้ง 3 ชนิดแบบสองเฟส ที่ความเข้มข้นเริ่มต้นการดูดซึม 1 %w/v.....	32
4.9 กราฟแสดงการปลดปล่อยโมเลกุลสีเย้อมทั้ง 3 ชนิดแบบเฟสเดียว ที่ความเข้มข้นเริ่มต้นการดูดซึม 0.01 %w/v.....	33
4.10 กราฟแสดงการปลดปล่อยโมเลกุลสีเย้อมทั้ง 3 ชนิดแบบเฟสเดียว ที่ความเข้มข้นเริ่มต้นการดูดซึม 0.05 %w/v	34
4.11 กราฟแสดงการปลดปล่อยโมเลกุลสีเย้อมทั้ง 3 ชนิดแบบเฟสเดียว ที่ความเข้มข้นเริ่มต้นการดูดซึม 0.1 %w/v	35
4.12 กราฟแสดงการปลดปล่อยโมเลกุลสีเย้อมทั้ง 3 ชนิดแบบเฟสเดียว ที่ความเข้มข้นเริ่มต้นการดูดซึม 1 %w/v.....	36
ก.1 ความยาวคลื่นสูงสุดของสีเย้อมทั้งสามชนิด	43
จ.1 การดูดซับโมเลกุลของสีเย้อมที่ความเข้มข้นเริ่มต้น 0.01 %w/v ที่เวลาสมดุล 24 ชั่วโมง.....	61
จ.2 การดูดซับโมเลกุลของสีเย้อมที่ความเข้มข้นเริ่มต้น 0.05 %w/v ที่เวลาสมดุล 24 ชั่วโมง.....	61
จ.3 การดูดซับโมเลกุลของสีเย้อมที่ความเข้มข้นเริ่มต้น 0.1 %w/v ที่เวลาสมดุล 24 ชั่วโมง	61
จ.4 การดูดซับโมเลกุลของสีเย้อมที่ความเข้มข้นเริ่มต้น 1 %w/v ที่เวลาสมดุล 24 ชั่วโมง	61
ฉ.1 การปลดปล่อยโมเลกุลของสีเย้อมแบบสองเฟสที่ความเข้มข้นเริ่มต้น ในการดูดซับ 0.01 %w/v	63
ฉ.2 การปลดปล่อยโมเลกุลของสีเย้อมแบบสองเฟสที่ความเข้มข้นเริ่มต้น ในการดูดซับ 0.05 %w/v	64
ฉ.3 การปลดปล่อยโมเลกุลของสีเย้อมแบบสองเฟสที่ความเข้มข้นเริ่มต้น ในการดูดซับ 0.1 %w/v.....	65
ฉ.4 การปลดปล่อยโมเลกุลของสีเย้อมแบบสองเฟสที่ความเข้มข้นเริ่มต้น ในการดูดซับ 1 %w/v.....	66

สารบัญรูป (ต่อ)

รูปที่	หน้า
ช.1 การปลดปล่อยโมเลกุลของสีย้อมแบบเฟสเดี่ยวที่ความเข้มข้นเริ่มต้น ในการดูดซับ 0.01 %w/v	68
ช.2 การปลดปล่อยโมเลกุลของสีย้อมแบบเฟสเดี่ยวที่ความเข้มข้นเริ่มต้น ในการดูดซับ 0.05 %w/v	69
ช.3 การปลดปล่อยโมเลกุลของสีย้อมแบบเฟสเดี่ยวที่ความเข้มข้นเริ่มต้น ในการดูดซับ 0.1 %w/v.....	70



บทที่ 1

บทนำ

1.1 ความเป็นมาและความสำคัญของโครงการ

ปัจจุบันเทคโนโลยีในการรักษาแผลแต่ละชนิดโดยเฉพาะวัสดุปิดแผลต่างๆ มีการพัฒนาและเจริญก้าวหน้าขึ้นอย่างมาก โดยมีการผสมผสานตัวยาเพื่อเพิ่มประสิทธิภาพในการฆ่าเชื้อ นอกจากนั้นยังมีการพัฒนาวัสดุปิดแผลเพื่อให้เกิดคุณลักษณะในการสมานแผลหรือเร่งบาดแผลให้หายเร็วขึ้นด้วยโดยวัสดุเหล่านี้มีทั้งประเภทที่สำหรับใช้ปิดบาดแผลชั่วคราวโดยเร่งให้บาดแผลหายเร็วหรืออาจมีประเภทที่ปิดบาดแผลแบบถาวรสิ่งสกปรกหรือเชื้อโรคไม่พึงประสงค์ไม่สามารถเข้าไปในบาดแผลได้ต่างๆ ออกแบบมาสำหรับคนไข้ที่ต้องการทำแผลและคงความชุ่มชื้นโดยไม่ต้องทำแผลบ่อย [1]

ในปัจจุบันนี้ไฮโดรเจล (Hydrogel) เป็นทางเลือกใหม่ที่มีบทบาทสำคัญมากในด้านการแพทย์ในปี ค.ศ. 1960 ได้เริ่มมีการศึกษานำพอลิเมอร์สังเคราะห์มาประยุกต์ใช้เป็นวัสดุปิดแผลซึ่ง Wichterle และ Lim (1960) ได้นำ Poly 2-Hydroxyethylmethacrylate ซึ่งเป็นพอลิเมอร์ชนิดโครงร่างตาข่ายข้อตีของพอลิเมอร์ชนิดนี้ คือ สามารถดูดซับน้ำได้ ยอมให้มีการแพร่ผ่านของไอน้ำและเมtabolizm และยังสามารถนำไปผ่าตัดหรือ sterilize ได้โดยที่ไม่ทำให้พอลิเมอร์เสียสภาพ นอกจากนั้นยังสามารถออกแบบรูปร่างรวมถึงโครงสร้างย่อย (Microstructure) ได้หลากหลายเพื่อให้เหมาะสมต่อการประยุกต์ใช้งานที่กว้างมากขึ้น [2]

ตัวอย่างวัสดุปิดแผลชนิดไฮโดรเจลทางการค้าที่ได้รับความนิยม เช่น ไฮดรอน (Hydron) วิจิลอน (Vigilon) และเจลิเพิร์ม (Geliperm) เป็นต้น ซึ่งไฮโดรเจลเหล่านี้ประกอบขึ้นมาจากมอนомерที่มีความเป็นไฮดรophilic เช่น HEMA เอธิลีนไอกอโคล และอะคริลามิด เป็นต้น นอกจากนั้นแห่งไฮโดรเจลทางการค้าบางชนิดยังมีการออกแบบให้มีลักษณะที่ประกอบขึ้นเป็นชั้นๆ เพื่อเพิ่มความสามารถในการใช้งานให้มีหน้าที่จำเพาะของแต่ละชั้นด้วยวัตถุประสงค์ที่แตกต่างกันไป วัสดุไฮโดรเจลข้างต้นจะช่วยป้องกันการติดเชื้อเนื่องจากมีส่วนของขั้นที่ป้องกันการผ่านเข้ามาของสิ่งสกปรกหรือแบคทีเรียจากภายนอกและส่งเสริมให้เกิดการหายของแผลได้ในระยะเวลาที่เร็วขึ้น เนื่องจากแห่งไฮโดรเจลมีความสามารถรักษาความชุ่มชื้นให้กับบาดแผล มีหลักฐานการยืนยันทางการแพทย์ระบุว่าแผลที่มีความชุ่มชื้นในระดับที่เหมาะสมจะลดการติดเชื้อและที่สำคัญ คือ ช่วยเร่งการหายของแผล [2]

งานวิจัยในครั้งนี้เป็นการศึกษาการนำสีย้อมทั้ง 3 ชนิด ได้แก่ สีย้อม Violet Orange II และ Congo Red ที่มีสมบัติทางโครงสร้างและขนาดมวลโมเลกุลคล้ายคลึงกัน โดยจะใช้สีย้อมเป็นตัวเปรียบเทียบแทนตัวยา ซึ่งมีyahalyชนิดที่มีขนาดโมเลกุลใกล้เคียงกับสีย้อมข้างต้นและตัวยาส่วนมากไม่สามารถมองเห็นด้วยตาเปล่า อีกทั้งสีย้อมมีราคาถูกและหาซื้อด้วยกัน ซึ่งสีย้อม Orange II จะใช้เปรียบเทียบแทนตัวยา Silver Sulfadiazine ซึ่งเป็นยารักษาบาดแผลไฟไหม้ติดเชื้อ สีย้อม Violet จะใช้เปรียบเทียบแทนตัวยา Thimerosal ซึ่งเป็นยา.rักษาบาดแผลสด และสีย้อม Congo Red จะใช้เปรียบเทียบแทนตัวยา Cefditoren Pivoxil ซึ่งตัวยา มีคุณสมบัติในการรักษาต้านแบคทีเรีย

[11] โดยการเปรียบเทียบตัวยาซึ่งต้นของสีเย้อมทั้ง 3 ชนิดจะพิจารณาขนาดมวลโนเบกุลที่ไก้ล็อคียิงกัน ผู้วิจัยจึงมีความสนใจที่จะนำสีเย้อมมาทดสอบกับแผ่นไฮโดรเจล โดยจะใช้แผ่นไฮโดรเจลเป็นตัวดูดซับสีเย้อมที่ความเข้มข้น 0.01 0.05 0.1 และ 1 %w/v เพื่อศึกษาผลของการเปลี่ยนสีของสีเย้อมจากการดูดซับแผ่นไฮโดรเจลที่เวลาต่างๆ จากนั้นนำแผ่นไฮโดรเจลที่ดูดซับสีเย้อมสมดุลมาทดลองหาความเข้มข้นของสีเย้อมที่ปลดปล่อยจากไฮโดรเจล โดยการวิเคราะห์การปลดปล่อยสีเย้อมในขั้นตอนนี้ จะแบ่งการทดลองเป็น 2 การทดลอง โดยการทดลองที่ 1 จะนำแผ่นไฮโดรเจลที่ดูดซับสีเย้อมสมดุลใส่ในหลอดทดลองที่มีน้ำกลั่นปริมาตร 3 มิลลิลิตร และการทดลองที่ 2 นำแผ่นไฮโดรเจลที่ดูดซับสีเย้อมวางทับลงบนแผ่นไฮโดรเจลเปล่า โดยนำน้ำที่เหลือจากการทดลองที่ 1 และแผ่นไฮโดรเจลเปล่าในการทดลองที่ 2 มาวิเคราะห์หาความเข้มข้นของสีเย้อมที่มีปลดปล่อยจาก ไฮโดรเจลที่เวลาต่างๆ ด้วยเครื่อง UV-Vis Spectrophotometer เพื่อให้เป็นแนวทางในการปรับปรุงและสามารถนำไปประยุกต์ใช้กับงานทางด้านการแพทย์ต่อไป

1.2 วัตถุประสงค์ของโครงการ

- 1.2.1 เพื่อศึกษาผลของการเปลี่ยนสีเย้อมที่มีต่อการดูดซับแผ่นไฮโดรเจลที่เวลาต่างๆ
- 1.2.2 เพื่อศึกษาผลของการเปลี่ยนสีเย้อมที่ปลดปล่อยออกจากแผ่นไฮโดรเจลแบบเฟสเดียวและแบบสองเฟส

1.3 ขอบเขตในการดำเนินโครงการ

1.3.1 ตัวแปรต้น

- 1.3.1.1 ชนิดและปริมาณของสีเย้อม Congo Red Orange II และ Violet
- 1.3.1.2 เวลาในการทดลองการดูดซับและเวลาในการปลดปล่อยของสีเย้อมที่เวลา 1 2 5 8 24 48 และ 72 ชั่วโมง

1.3.2 ตัวแปรตาม

- 1.3.2.1 ความเข้มข้นสีเย้อมที่ถูกดูดซับจากแผ่นไฮโดรเจล
- 1.3.2.2 ความเข้มข้นสีเย้อมที่ปลดปล่อยออกจากแผ่นไฮโดรเจลแบบเฟสเดียวและแบบสองเฟส

1.3.3 ตัวแปรควบคุม

- 1.3.3.1 อุณหภูมิท่องในการทดลอง

1.4 สถานที่ในการดำเนินโครงการ

1.4.1 อาคารปฏิบัติการภาควิชาศึกษาครุศาสตร์สาขาวิชาครุศาสตร์ คณะวิศวกรรมศาสตร์ มหาวิทยาลัย
นเรศวร

1.4.2 อุทยานวิทยาศาสตร์ภาคเหนือตอนล่าง อาคารมหาธรรมราชา มหาวิทยาลัยนเรศวร

1.5 ระยะเวลาในการดำเนินโครงการ

ตั้งแต่เดือน เมษายน พ.ศ. 2556 ถึง ธันวาคม พ.ศ. 2556

1.6 ขั้นตอนและแผนการดำเนินโครงการ

ขั้นตอนและแผนดำเนินโครงการถูกแสดงดังตารางที่ 1.1 ดังนี้

ตารางที่ 1.1 ขั้นตอนและแผนการดำเนินโครงการ

	การดำเนินโครงการ	ช่วงเวลา								
		ม.ย.	พ.ค.	มิ.ย.	ก.ค.	ส.ค.	ก.ย.	ต.ค.	พ.ย.	ธ.ค.
1.6.1	รวบรวมข้อมูล	◀	▶							
1.6.2	วางแผนดำเนินงาน			◀▶						
1.6.3	หาวัตถุดิบเพื่อทำการทดลอง			◀▶	▶					
1.6.4	เริ่มทำการทดลอง				◀	▶				
1.6.5	วิเคราะห์ผลการทดลอง					◀▶				
1.6.6	สรุปผลการทดลองและทำรายงาน					◀	▶			

บทที่ 2

หลักการและทฤษฎีเบื้องต้น

2.1 หลักการพื้นฐานเกี่ยวกับไฮโดรเจล (Basic Principles Of Hydrogel) [3]

ไฮโดรเจลเป็นพอลิเมอร์ชนิดไฮโดรพิลิกที่มีลักษณะเป็นโครงร่างตาข่ายสามมิติ โครงสร้างของไฮโดรเจลประกอบด้วย 2 ส่วนหลัก ได้แก่ ส่วนที่สามารถเกิดขันทรรศนิย (Interaction) กับโมเลกุลของน้ำหรือเรียกว่าส่วนที่ชอบน้ำ (Hydrophilic Group) เช่น หมู่ -OH, -COOH และ -CONH₂ เป็นต้น และส่วนที่ไม่ชอบน้ำ (Hydrophobic Group) เช่น หมู่ -CH₂- และ -CH₃ เป็นต้น ระหว่างสายโซ่มีการเชื่อมต่อกันด้วยพันธะโคเวเลนซ์ พันธะไฮโดรเจน หรืออันตรรศนิยระหว่างหมู่ต่างๆ ในสายโซ่ประกอบกันเป็นสายโซ่ยาวจำนวนมากและไม่เกิดขั้นตอนการพันตัวกันหรือขาดตัวกันอยู่ ทำให้ภายนอกในโครงสร้างโดยรวมเกิดรูพรุนขนาดเล็กๆ มากมา สมบัติเด่นของไฮโดรเจล คือ สามารถดูดซับน้ำได้มากกว่าร้อยละ 20 พร้อมกับความสามารถของตัวหรือขยายตัวออกได้และยังสามารถหดตัวได้เมื่อมีการสูญเสียโมเลกุลของน้ำออกไป นอกจานนั้น ยังไม่สามารถถลอกลายในตัวทำลายทุกชนิด การจำแนกประเภทของไฮโดรเจลสามารถแบ่งได้ 4 ประเภทใหญ่ๆ ตามลักษณะของการสังเคราะห์และการประยุกต์ใช้ที่แตกต่างกันดังต่อไปนี้

2.1.1 ประเภทของไฮโดรเจล

2.1.1.1 ไฮโดรเจลแบบแผ่นฟิล์ม (Film Hydrogels) มักนำไปใช้เพื่อเคลือบพื้นผิวของวัสดุต่างๆ ไฮโดรเจลชนิดนี้มีโครงสร้างภายในที่ประกอบด้วยห้องส่วนที่ชอบน้ำและไม่ชอบน้ำ ส่วนที่ไม่ชอบน้ำจะช่วยป้องกันไม่ให้พอลิเมอร์ถลอกลายในตัวทำลายต่างๆ ได้

2.1.1.2 ไฮโดรเจลแบบโครงร่างตาข่าย (Crosslinked Network) เตรียมจากการพอลิเมอไรเซชัน (Polymerisation) ระหว่างสารถลอกลายผสมของมอนомер (Monomer) ตัวเริ่มปฏิกิริยา (Initiator) และตัวเชื่อมต่อสายโซ่ (Crosslinking Agent) หรือในบางกรณีอาจเติมตัวทำลายลงไปด้วย จากนั้นเหลวไปในแม่พิมพ์

2.1.1.3 ไฮโดรเจลแบบกราฟท์บนพื้นผิว (Surface Grafted Polymer) ทำได้โดยการให้ไฮโดรเจลเกิดพันธะบนพอลิเมอร์อื่นที่ไม่สามารถถลอกลายน้ำ เทคนิคนี้เป็นเทคนิคที่ได้รับความสนใจเป็นอย่างมากในปัจจุบัน เนื่องจากสามารถปรับปรุงสมบัติของไฮโดรเจลให้ตรงกับความต้องการเพื่อเหมาะสมกับการประยุกต์ใช้งานได้ เช่น ปรับปรุงสมบัติเชิงกลให้ดีขึ้น โดยทำให้เกิดพันธะกับพอลิเมอร์ที่มีสมบัติเชิงกลที่ดีกว่าหรือการทำให้ไฮโดรเจลที่ถลอกลายเป็นไฮโดรเจลที่ไม่ถลอกลายน้ำ โดยเกิดพันธะกับพอลิเมอร์ที่ไม่สามารถถลอกลายในน้ำ เป็นต้น

2.1.1.4 ไฮโดรเจลแบบอินเตอร์เพเนตรติงพอลิเมอร์เน็ตเวิร์ก (Interpenetrating Polymer Network-IPN) เป็นไฮโดรเจลที่มีโครงร่างตาข่าย 2 ชนิด แทรกกันอยู่ไม่สามารถแยกออกจาก

กันได้ ส่งผลให้โครงสร้างโดยรวมมีความแข็งแรงมากขึ้นหรือมีสมบัติอื่นที่ตรงกับความต้องการในการประยุกต์ใช้งานได้ดีขึ้น นอกจากนี้ยังมีไฮโดรเจลชนิดที่เป็นแบบกึ่งอินเตอร์เพเนตรติงพอลิเมอร์ เน็ตเวิร์ก (Semi-IPN) คือ ไฮโดรเจลที่มีพอลิเมอร์โครงร่างตายกับพอลิเมอร์ที่ไม่มีโครงร่างตาย สอดแทรกกันอยู่ซึ่งทั้งสองเทคนิคเป็นการปรับปรุงสมบัติของไฮโดรเจลอีกทางหนึ่งเพื่อให้ตรงต่อการประยุกต์ใช้งานในแต่ละแบบ

2.1.2 สมบัติของไฮโดรเจล

สมบัติเฉพาะของไฮโดรเจล คือ สามารถพองตัวแต่ไม่ละลายในน้ำ เนื่องจากไฮโดรเจล ประกอบด้วยทั้งส่วนที่ชอบน้ำและไม่ชอบน้ำเมื่อนำไฮโดรเจลไปแช่น้ำไม่เกิดขุ่นฟองน้ำสามารถแพร่ผ่าน และแทรกเข้าไปอยู่ในบริเวณที่ว่างหรือรูพรุนภายในโครงสร้างสามมิติของไฮโดรเจลนั้นได้ เนื่องจาก แรงดันอสโนมิก (Osmotic Pressure) ไม่เกิดขุ่นฟองน้ำบางส่วนจะเกิดอันตราริบิยาภัยกับสายไฟพอลิเมอร์แล้ว ผลักดันให้สายไฟพอลิเมอร์เกิดการขยายตัวหรือเกิดการพองตัวขึ้น ซึ่งเป็นการปรับโครงสร้างของไฮโดรเจลให้เกิดสมดุลใหม่ไฮโดรเจลเมื่อยายตัวหรือเกิดการพองตัวขึ้นที่จะไม่แยกขาดออกจากกันได้เนื่องจากภายในจะ ประกอบด้วยพอลิเมอร์ที่มีความยาวจำกัดและยึดกันด้วยพันธะโคเวเลนซ์ โดยมีตัวเชื่อมต่อสายโซ่ (Crosslinker) เป็นตัวช่วยยึดระหว่างสายพอลิเมอร์ไว้ การเปลี่ยนแปลงของสายโซ่พอลิเมอร์เมื่อเกิด การพองตัว แสดงดังรูปที่ 2.1

2.1.3 ปัจจัยที่มีผลต่อการพองตัวของไฮโดรเจล

2.1.3.1 แรงดันอสโนมิก

เนื่องจากปริมาณน้ำภายในและภายนอกไฮโดรเจลไม่เท่ากันจึงทำให้เกิดความ แตกต่างของแรงดันอสโนมิก ดังนั้นจากภายนอกจึงแพร่เข้าไปในช่องว่างหรือรูพรุนของไฮโดรเจล นั้น ถ้าแรงดันอสโนมิกแตกต่างกันมาก น้ำก็จะเคลื่อนที่เข้าไปในไฮโดรเจลมากขึ้น

2.1.3.2 แรงกระทำระหว่างโมเลกุln้ำกับไฮโดรเจล

ถ้าพอลิเมอร์นั้นมีโครงสร้างทางเคมีที่เหมาะสมสามารถเกิดอันตราริบิยาภัยกับน้ำ ได้มาก เช่นเมื่อเกิดพันธะไฮโดรเจนขึ้นหรือแรงดึงดูดระหว่างชั้นทำให้เป็นการเหนี่ยวแนวน้ำ แพร่เข้าสู่ไฮโดรเจลได้มาก

2.1.3.3 ช่องว่างระหว่างสายโซ่พอลิเมอร์

ถ้าไฮโดรเจลมีช่องว่างหรือรูพรุนระหว่างสายโซ่พอลิเมอร์มาก น้ำก็จะแพร่เข้า ไปได้มาก

2.1.3.4 ความยืดหยุ่นของสายโซ่พอลิเมอร์

ถ้าสายโซ่มีความยืดหยุ่นที่ดีจะเป็นการลดแรงต้าน (Resistance Force) ของ การแพร่ของโมเลกุln้ำเพื่อเข้าสู่ส่วนดุลใหม่ทำให้โมเลกุln้ำแพร่ผ่านเข้าสู่ไฮโดรเจลได้มาก

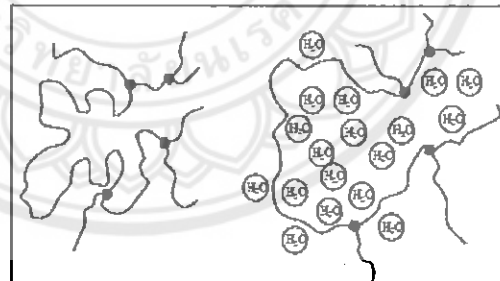
2.1.3.5 ความหนาแน่นของการเชื่อมต่อระหว่างสายโซ่พอลิเมอร์

ถ้ามีความหนาแน่นของการเชื่อมต่อมากจะเปรียบเสมือนกับเป็นการเพิ่มแรงต้านทานในการขยายตัวของไฮโดรเจลทำให้ความสามารถในการพองตัวได้ลดลง

โมเลกุln้ำที่อยู่ภายในไฮโดรเจลวี 2 ลักษณะใหญ่ๆ แสดงดังรูปที่ 2.2 ได้แก่โมเลกุln้ำอิสระ (Free Water) สามารถเคลื่อนที่ได้อย่างอิสระและระเหยได้ง่าย มีผลต่อสมบัติของไฮโดรเจลไม่มากนักและโมเลกุln้ำที่เกิดพันธะกับสายโซ่ (Bound Water) ซึ่งมีการเคลื่อนที่ภายในโครงสร้างไฮโดรเจลได้ยากกว่าและต้องใช้ความร้อนปริมาณหนึ่งในการระเหยโมเลกุln้ำลักษณะนี้ออก ปริมาณน้ำร้อยละที่มีเป็นองค์ประกอบอยู่ภายในไฮโดรเจล (Water Content; WC) สามารถคำนวณได้จากสมการ 2.1 สมบัติที่สำคัญอีกประการของไฮโดรเจล คือ การยอมให้มีการแพร่ผ่านของโมเลกุลต่างๆ เช่น น้ำ โปรตีน ยา หรือแม้แต่ก๊าซออกซิเจนและการบอนไดออกไซด์ เป็นต้น ซึ่งเป็นลักษณะสำคัญที่สามารถนำไปประยุกต์ใช้กับงานทางด้านการแพทย์

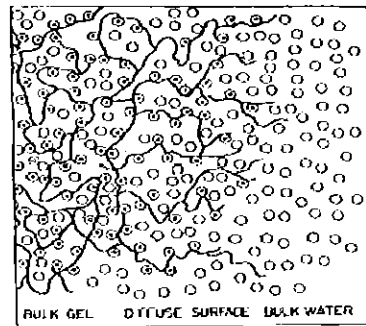
$$\text{ปริมาณการดูดซับน้ำ (\%)} = \frac{W - W_0}{W_0} \times 100 \quad (2.1)$$

โดย W และ W_0 คือน้ำหนักของไฮโดรเจลก่อนและหลังการแช่ในน้ำ [4]



รูปที่ 2.1 การเปลี่ยนแปลงของสายโซ่พอลิเมอร์เมื่อเกิดการพองตัวโดยมีการแพร่ผ่านโมเลกุln้ำเข้าไปภายในโครงสร้างของไฮโดรเจล

ที่มา: การประยุกต์ใช้แผนไฮโดรเจล. มหาวิทยาลัยเชียงใหม่



รูปที่ 2.2 อันตรกิริยาของโนเมเลกูลของน้ำในโครงสร้างไฮโดรเจล

ที่มา: การประยุกต์ใช้แผ่นไฮโดรเจล. มหาวิทยาลัยเชียงใหม่

2.2 ลักษณะและสมบัติของไฮโดรเจลที่เหมาะสมประยุกต์ใช้เป็นวัสดุปิดแผล [3]

การนำวัสดุปิดบาดแผลมาใช้ปิดบาดแผลใหม่นั้นสิ่งที่ต้องพิจารณา คือ สมบัติต่างๆ ที่จะมีผลกระทบต่อโครงสร้างและสภาพของผิวน้ำที่กำลังซ่อมแซมรวมถึงเนื้อเยื่อที่สร้างขึ้นมาทดแทน ดังนั้น วัสดุปิดบาดแผลที่ดีควรมีสมบัติดังต่อไปนี้

2.2.1 การรักษาอัตราการระเหยของน้ำบริเวณบาดแผลให้เหมาะสม เพื่อป้องกันการสูญเสียน้ำ ของร่างกายและเพื่อป้องกันการคั่งของสารคัดหลั่งจากบาดแผล นอกจากนั้นยังต้องช่วยรักษาความชุ่มชื้นบริเวณบาดแผล

2.2.2 ไม่มีการต่อต้านจากเนื้อเยื่อและไม่มีความเป็นพิษ

2.2.3 สามารถป้องกันเชื้อโรคจากภายนอกบาดแผลได้

2.2.4 สามารถควบคุมปริมาณสารคัดหลั่งบริเวณบาดแผลให้เหมาะสมต่อการซ่อมแซมของบาดแผล

2.2.5 สามารถนำไปผ่านกระบวนการที่ทำให้ปราศจากเชื้อโรคได้

2.2.6 เป็นวัสดุที่ปิดบาดแผลได้แบบสนิท ไม่หลุดลอกได้ง่าย

2.2.7 ไม่เกะติดกับเนื้อเยื่อที่ซ่อมแซมชั้นมาใหม่ และสามารถนำออกจากการซ่อมแซมของบาดแผลได้ง่ายโดยไม่ทำให้เกิดการเจ็บปวดในระหว่างการเปลี่ยนวัสดุปิดแผล

2.2.8 เป็นวัสดุที่มีสมบัติการแลกเปลี่ยนและส่งผ่านอากาศ (ออกซิเจนและคาร์บอนไดออกไซด์) ระหว่างบาดแผลกับบรรยากาศภายนอกได้ดี

2.2.9 เป็นวัสดุที่มีความแข็งแรงและยืดหยุ่นระดับหนึ่ง เพื่อจ่ายต่อการนำไปใช้งาน

2.2.10 อ่อนนุ่ม โค้งงอได้ สามารถแบบติดกับผิวของแผลที่ไม่สม่ำเสมอได้ดี

2.2.11 มีอายุการใช้งานที่นานพอสมควรและมีเงื่อนไขในการเก็บรักษาอยู่

2.2.12 ป้องกันการลอกคล้ำของบาดแผล

2.2.11 มีความสามารถในการส่งผ่านยาปฏิชีวนะ

2.2.12 นอกจากนั้นควรเป็นวัสดุที่หาได้ง่ายและราคาถูก

2.3 สีย้อม (Dyes) [4]

ถ้าแบ่งตามลักษณะกายภาพเป็น 2 ชนิด ชนิดหนึ่งคล้ายน้ำได้เรียกว่าสีย้อม (Dyes) อีกชนิดหนึ่งไม่คล้ายน้ำเรียกว่าพิกเมนต์ (Pigments) ถ้าแบ่งสีย้อมตามลักษณะประจุสามารถแบ่งได้เป็น 2 ชนิด ได้แก่ สีย้อมแบบไม่มีประจุ (Non-Ionic Dyes) เช่น สีย้อมดิสพอร์สและสีย้อมแบบมีประจุ (Ionic Dyes) ได้แก่ สีย้อมรีแอกทิฟ ไดเรกท์ เอสิต และสีย้อมชนิดประจุบวกเช่นสีเบสิก สีย้อมส่วนใหญ่เป็นสารเคมีที่เป็นผลิตภัณฑ์มาจากน้ำมันบีโตรเลียมซึ่งเป็นสารไฮโดรคาร์บอนพาก Aliphatic และ Aromatic การจำแนกสีย้อมสามารถแบ่งประเภทสีย้อมออกได้หลายวิธี แต่ที่นิยมใช้กันมากจะจำแนกตามลักษณะการใช้งานการละลายน้ำดังนี้

2.3.1 ประเภทของสีย้อม

2.3.1.1 สีเบสิก (Basic) เป็นเกลือของอินทรี (Organic Base) ละลายน้ำได้ ย้อมติดโดยเซลลูโลสไดเล็กน้อยหรือไม่ติดเลย มี Chomophore ให้แคทไออ้อน บางครั้งเรียกว่าสีแคทไออ้อน

2.3.1.2 สีแอสิต (Acid) เป็นตัวสีที่เกิดจากสารประกอบอินทรีที่ละลายน้ำได้ ส่วนใหญ่เป็นเกลือของกรดกำมะถัน ติดโดยโปรตีนไดในน้ำย้อมที่เป็นกรดเจือจาง ใช้ย้อมเซลลูโลสซึ่งมีเชลลูโลสบริสุทธิ์ เช่น ปอ ป่าน และไย Polyamide ได้

2.3.1.3 สีมอร์แคนท์และพรเมตัลไลซ์ (Mordant And Premetallized Dyes) สีมอร์แคนท์เป็นกลุ่มสีซึ่งใช้ย้อมเฉพาะโดยโปรตีน ส่วนสีเบสิกเมื่อใช้ย้อมโดยเซลลูโลสจำเป็นต้องใช้สารช่วยติดสีเบสิกอาจเรียกว่าสีมอร์แคนได้เหมือนกัน

2.3.1.4 สีไดเรกท์ (Direct) บางครั้งเรียกว่าสีย้อมผ้ายาสีชนิดนี้เป็นสีสังเคราะห์ชนิดแรกที่คุณติดโดยผ้ายไดโดยไม่ต้องใช้สารช่วยติด ส่วนใหญ่เป็นสารประกอบเอโซ (Azo) มีน้ำหนักโมเลกุลสูง มีหมู่ชัลโ芬ิกซึ่งทำให้ตัวสีละลายน้ำได้ คุณสมบัติการย้อม ความคงทนตลอดจนราคานักต่อนักมากถ้าเป็นสีซึ่งมีความคงทนดี โครงสร้างของสีจะซับซ้อนมากขึ้น ใช้ย้อมโดยเซลลูโลสซึ่งไม่ต้องการความคงทนต่อกระบวนการใช้น้ำหนักมาก

2.3.1.5 สีดิสเพรส (Disperse Dyes) สีนี้ผลิตขึ้นด้วยวัตถุประสงค์เพื่อใช้ย้อมใบอะซิเตตซึ่งเป็นไข่ที่คุณน้ำได้เล็กน้อย สีนี้ไม่ละลายน้ำแต่เป็นละล่องละเอียดลอยตัวอยู่ในน้ำ เมื่อมีสารกระจายตัว (Dispersing Agent) ที่เหมาะสมใช้ย้อมในน้ำย้อมธรรมชาไม่ต้องใช้สารเคมีอย่างอื่นช่วยอีกนอกจากสารพา (Carrier) ให้ตัวสีเข้าไปในลักษณะเส้นใยเท่านั้น

2.3.1.6 สีอะโซอิก (Azoic Dyes) สีในกลุ่มนี้เป็นสารประกอบอะโซเหมือนกันแต่ตัวสีไม่ละลายน้ำ ก่อรูปเป็นสีบนเส้นใยไดโดยการย้อมด้วยสารประกอบฟินอลซึ่งละลายน้ำไดก่อน แล้วจึงนำไปย้อมทับอีกรั้งด้วยเกลือไดอะโซเนียม (Diazonium Salt) เกลือนี้จะทำปฏิกิริยากับสารประกอบฟินอล เกิดเป็นสารประกอบอะโซที่ให้สีบนเส้นใย ปฏิกิริยานี้เรียกว่า Coupling สีในกลุ่มนี้นิยมใช้

ย้อมไนเซลลูโลสเท่านั้น เพราะสารประกอบฟีโนอลอลายในด่างซึ่งจะเป็นอันตรายต่อไข่โปรตีน ฟีโนอลอลายน้ำและติดไนเซลลูโลสได้

2.3.1.7 สีวัต (Vat Dyes) สีวัตได้ซึมมาจากที่ตัวสีเองไม่ละลายในน้ำต้องใช้สารรีดิวช์ที่เหมาะสมมาทำให้ละลายจึงติดไนเซลลูโลสได้ นอกจากนี้สีวัตยังสามารถใช้ย้อมโปรตีนได้ ไปสังเคราะห์บางชนิดสามารถย้อมติดคดี เช่น ไบอครีแคนคอกเทลและโพลีเอสเทอร์ผสานฝ่ายสื่อ่อนฯ

2.3.1.8 สีกำมะถัน (Sulphur or Sulphide Dyes) สีกำมะถันเตรียมได้โดยการหลอมละลายกำมะถันหรือโซเดียมซัลไฟเดียมซัลไฟเดกับกรดอาจไม่ในและสารประกอบใบไตรอีนฯ ซึ่งเป็น Cyclic Hydrocarbon เช่น เบนซินหรือแแพพทาลีน สีพากนี้จะติดไนเซลลูโลสได้ดีต่อเมื่อละลายอยู่ในน้ำซึ่งมีสภาพเป็นด่าง สารรีดิวช์ที่ใช้กันแพร่หลายที่สุด คือ โซเดียมซัลไฟเดก

2.3.1.9 สีรีแอกทิฟ (Reactive Dyes) สีรีแอกทิฟคล้ายน้ำได้ เป็นสีย้อมไนเซลลูโลสที่ดีที่สุด มีสมบัติเป็นแอนไอโอน เมื่ออยู่ในน้ำย้อมซึ่งเป็นด่าง โมเลกุลของสีจะทำปฏิกิริยากับหมู่ OH ในไนเซลลูโลสและเขื่อนโยงติดกันโดยพันธะโคเวเลนต์ (Covalent Bond) กล้ายเป็นสารประกอบเคมีชนิดใหม่กับไนเซลลูโลสคุณสมบัติการละลายและคุณติดเส้นใยของตัวสีทำให้สีเข้าไปอยู่ภายในเส้นใยเมื่อเกิดปฏิกิริยาตัวสีซึ่งจะยึดติดเส้นใย สีรีแอกทิฟส่วนใหญ่เป็นโครงรูปประจำเอโซ

2.4 หลักการแพร่ของสาร [5]

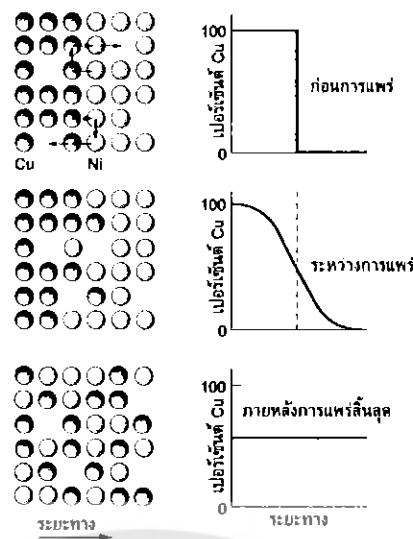
การแพร่ของสาร (Diffusion) หมายถึง การเคลื่อนที่หรือการกระจายของโมเลกุลของสารจากบริเวณที่มีความเข้มข้นมากไปยังบริเวณที่มีความเข้มข้นน้อย

2.4.1 กลไกการแพร่ (Diffusion Mechanisms)

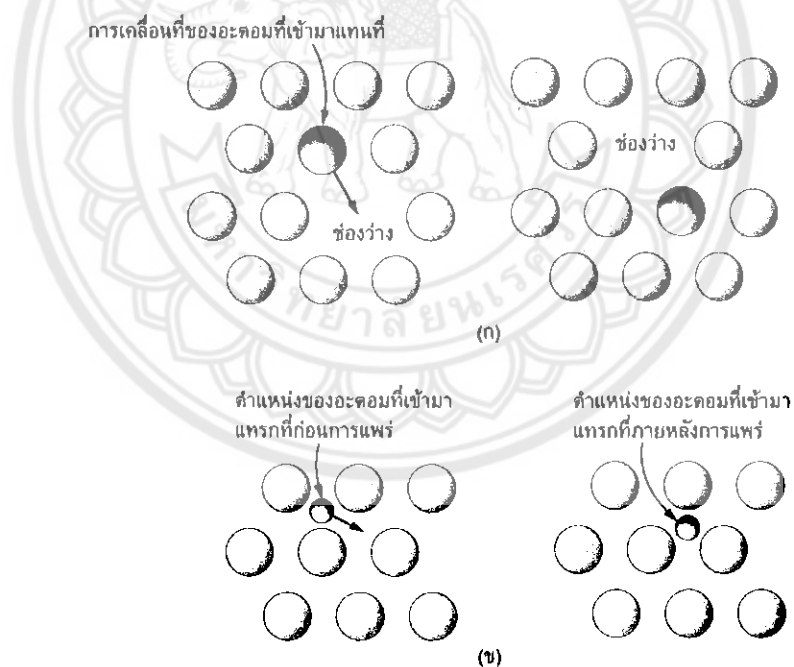
ยังคงศักดิ์ ธรรมโภดิ (2549: 56) กล่าวว่า การแพร่ของอะตอมของโลหะบริสุทธิ์เป็นการเคลื่อนที่ของอะตอมของตัวเองจากที่หนึ่งไปยังอีกที่หนึ่ง กระบวนการการแพร่แบบนี้ เราเรียกว่า การแพร่โดยอะตอมของตัวเอง (Self-Diffusion) แต่กระบวนการการแพร่โดยอะตอมที่ต่างชนิดกันหรืออะตอมของวัสดุที่ต่างกัน ดังแสดงในรูปที่ 2.3 เป็นการแพร่เข้าหากันระหว่างอะตอมของทองแดง (Cu) และนิกเกล (Ni) นั้นมีกลไกการแพร่อยู่ 2 อย่างคือ

2.1.4.1 การแพร่แบบช่องว่าง (Vacancy Diffusion) นี้จะเกิดขึ้นจากการเคลื่อนที่ของอะตอมจากที่หนึ่งไปยังอีกที่หนึ่งเมื่อมีพลังงานกระตุ้น ทำให้อะตอมสั่นสะเทือนและเคลื่อนที่เปลี่ยนตำแหน่ง โดยการเคลื่อนที่จากตำแหน่งหนึ่งสู่ที่ว่างอีกตำแหน่งหนึ่ง จะทำให้เกิดช่องว่างเกิดขึ้นจึงเรียกว่า การเคลื่อนที่แบบช่องว่าง ดังแสดงในรูปที่ 2.4 (ก)

2.3.4.2 การแพร่แบบแทรกที่ (Interstitial Diffusion) เป็นการแพร่ที่เกิดกับอะตอมที่มีขนาดเล็กเคลื่อนที่ไปแทรกอยู่ตามช่องระหว่าง อะตอมที่มีขนาดใหญ่กว่า ดังแสดงในรูปที่ 2.4 (ข)



รูปที่ 2.3 กระบวนการแพร์ของทองแดง (Cu) สูนิเกล (Ni) โดยกระบวนการแพร์ เกิดขึ้นแบบสุ่ม (Random)
ที่มา: ณรงค์ศักดิ์ ธรรมโฉต (2549)



รูปที่ 2.4 (ก) กลไกการแพร์แบบช่องว่าง (ข) กลไกการแพร์แบบแทรกที่
ที่มา: ณรงค์ศักดิ์ ธรรมโฉต (2549)

2.4.1 การแพร่ในสถานะไม่คงตัว (Non-Steady State)

การแพร่ในสถานะไม่คงตัวจะเป็นกระบวนการแพร่ที่ความเข้มข้นของอะตอมจะมีการเปลี่ยนแปลงตามเวลา เช่น เหล็กที่มีอะตอมของคาร์บอนแพร่เข้าไปบริเวณผิว เมื่อเวลาผ่านไปนานเข้า ความเข้มข้นของอะตอมที่ผิวเหล็กจะมีการเปลี่ยนแปลง ซึ่งการแพร่ในสถานะไม่คงตัวนี้ จะเป็นไปตามกฎข้อที่สองของฟิก (Fick's Second Law) ดังนี้

$$\frac{C_s - C_x}{C_s - C_0} = \operatorname{erf}\left(\frac{x}{2\sqrt{Dt}}\right) \quad (2.2)$$

เมื่อ C_s คือ ความเข้มข้นของอะตอมที่ผิวของวัสดุ

C_0 คือ ความเข้มข้นของอะตอมที่อยู่ในเนื้อของวัสดุก่อนเกิดการแพร่

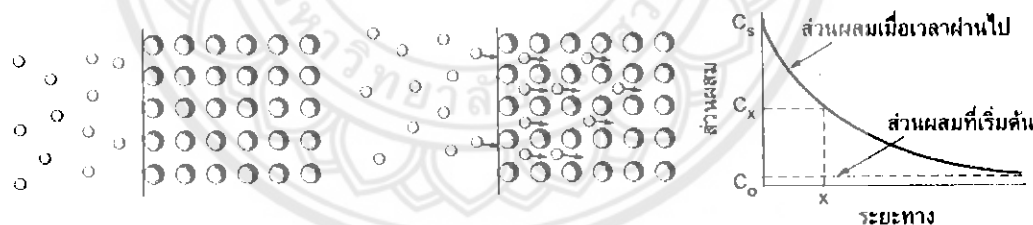
C_x คือ ความเข้มข้นของอะตอมที่ระยะห่างจากผิว x ที่เวลา t

D คือ สัมประสิทธิ์การแพร่ของอะตอม

x คือ ระยะทางจากผิว

t คือ เวลา

erf คือ พัฟ์ชันคลาดเคลื่อน (Error Function) ทางคณิตศาสตร์ ความเข้มข้นของอะตอมเมื่อเวลาเปลี่ยนแปลงได้ แสดงไว้ในรูปที่ 2.5



รูปที่ 2.5 การแพร่ของอะตอมสู่ผิวของวัสดุ ซึ่งเป็นไปตามกฎข้อที่สองของฟิก

ที่มา: ณรงค์ศักดิ์ อรรโมเขต (2549)

2.4.3 ปัจจัยที่มีผลต่อการแพร่

2.4.3.1 ถ้าความเข้มข้นของตัวกลางมีความแตกต่างกันมาก การแพร่จะเกิดเร็วขึ้น

2.4.3.2 อุณหภูมิ ถ้าอุณหภูมิสูง การแพร่ของสารจะเป็นไปอย่างรวดเร็ว

2.4.3.3 ขนาดอนุภาคสาร สารที่มีขนาดอนุภาคเล็กและเบา จะแพร่ได้รวดเร็วกว่า

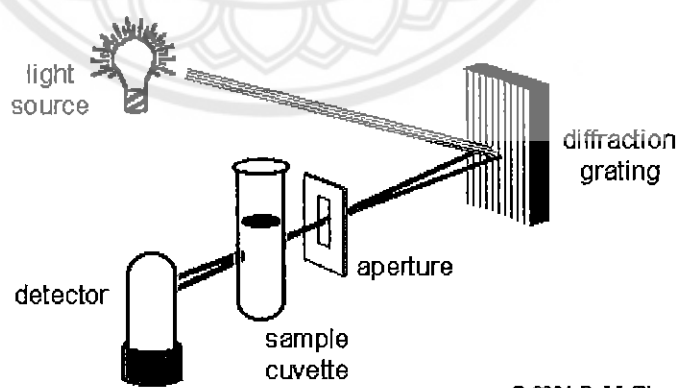
2.4.3.4 ความสามารถในการละลายของสาร ถ้าสารที่แพร่เข้าสู่ตัวกลางสามารถละลายได้ดีจะมีการแพร่สูง

2.4.3.5 ความหนาแน่นของตัวกลาง สารที่มีลักษณะเหมือนกัน แต่แพร่ผ่านตัวกลางต่างชนิดกัน อัตราการแพร่ไม่เท่ากัน

2.5 หลักการทำงานเครื่อง UV-Vis Spectrophotometer

UV-VIS Spectrophotometer เป็นเครื่องมือที่ใช้ในการตรวจวัดปริมาณแสงและค่า Intensity ในช่วงรังสียาวและช่วงแสงขาวที่ทางลูกผ่านหรือถูกดูดกลืนโดยตัวอย่างที่วางอยู่ในเครื่องมือ โดยที่ความยาวคลื่นแสงจะมีความสัมพันธ์กับปริมาณและชนิดของสารที่อยู่ในตัวอย่าง ซึ่งส่วนใหญ่จะเป็นสารอินทรีย์ สารประกอบเชิงซ้อนและสารอนินทรีย์ที่สามารถดูดกลืนแสงในช่วงความยาวคลื่น เหล่านี้ได้คุณสมบัติในการดูดกลืนแสงของสารเมื่อมีเลกุลของตัวอย่างถูกฉายด้วยแสงที่ มีพลังงานเหมาะสม จะทำให้อิเล็กตรอนภายในอะตอมเกิดการดูดกลืนแสงแล้วเปลี่ยนสถานะไปอยู่ในชั้นที่มีระดับพลังงานสูงกว่า เมื่อทำการวัดปริมาณของแสงที่ผ่านหรือสะท้อนมาจากตัวอย่างเทียบกับแสงจากแหล่งกำเนิดที่ความยาวคลื่นค่าต่างๆตามกฎของ Beer-Lambert ค่าการดูดกลืนแสง (Absorbance) ของสารจะแปรผันกับจำนวนโมเลกุลที่มีการดูดกลืนแสง ดังนั้นจึงสามารถใช้เทคนิคนี้ในการระบุชนิดและปริมาณของสารต่างๆ ที่มีอยู่ในตัวอย่างได้

หลักการทำงานเครื่อง UV-Vis Spectrophotometer แบบลำแสงเดียวนั้น เมื่อแสงออกจากแหล่งกำเนิดแสงแล้ว จะผ่านโนโกรัมเตอร์ที่เป็นเกรตติ้งและสารตัวอย่างตามลำดับ แล้วจึงเข้าสู่ตัวตรวจจับสัญญาณตลอดเส้นทางของลำแสงนี้เมื่อแสงเดียวจึงเรียกว่า สเปกโตรโฟโตมิเตอร์ประเภทนี้ว่า แบบลำแสงเดียวผ่านจากโนโกรัมไปสู่สารละลายที่ต้องการวัดและเข้าสู่ตัวตรวจจับสัญญาณโดยดังนั้นการวัดจึงต้องวัด 2 ครั้ง ครั้งแรกเซลล์บรรจุแบล็ค (Blank) ซึ่งเป็นตัวทำละลายของตัวอย่างที่เราต้องการวัด เมื่อลำแสงผ่านเซลล์ ปรับเครื่องให้อยู่ตำแหน่ง ศูนย์ (Set Zero) ส่วนครั้งหลังบรรจุสารละลายที่ต้องการวัด (Sample) และจึงให้ลำแสงผ่านเซลล์ ความแตกต่างระหว่างการดูดกลืนแสงของทั้ง 2 ครั้งจะปรากฏบนหน้าปัดมิเตอร์ จากนั้นก็สามารถวัดตัวอย่างที่ความเข้มข้นอื่นๆ ต่อไปได้โดยไม่ต้องกลับไปวัดแบล็คอีกรอบ สำหรับการเปลี่ยนความยาวคลื่น จะต้องวัดแบล็คใหม่ทุกครั้ง [6]



© 2001 B. M. Tissie

รูปที่ 2.6 องค์ประกอบเครื่อง UV-Vis Spectrophotometer

ที่มา: <http://www.files.chem.vt.edu/chem-ed/spec/uv-vis/singlebeam.html>

2.6 งานวิจัยที่เกี่ยวข้อง

อาจารย์สุชาดา และคณะ [8] ได้พัฒนาระบบนำส่งยาเม็ดโซลผ่านผิวนังโดยเตรียมในรูปฟิล์มมาทริกซ์ โดยใช้พอลิเมอร์จากธรรมชาติ ได้แก่ ไคโตแซน พอลิเมอร์สังเคราะห์กลุ่มอะคริเลต ได้แก่ ยูดราจิต (Eudragit NE30D) และส่วนผสมของไคโตแซนและยูดราจิตที่อัตราส่วนผสม 1:10 1:20 1:30 โดยน้ำหนักแห้ง ผลการศึกษาการปลดปล่อยยาจากแผ่นฟิล์มทางภายนอกร่างกาย พบว่า การปลดปล่อยยาจากแผ่นฟิล์มไคโตแซนและฟิล์มที่มีส่วนผสมของไคโตแซนในอัตราส่วนที่สูงจะเป็นไปอย่างรวดเร็วภายใน 30 นาทีแรก เนื่องมาจากคุณสมบัติการพองตัวและการละลายน้ำของฟิล์มไคโตแซน จากนั้นการปลดปล่อยยาจะช้าลงทั้งนี้อาจเนื่องจากการเกิด Cross-link ระหว่างไคโตแซนกับประจุฟอสเฟตในตัวกลาง โดยฟิล์มผสมทั้ง 3 ชนิดมีการปลดปล่อยตัวยาจากแผ่นฟิล์มมากกว่าร้อยละ 60 ภายใน 12 ชั่วโมง และฟิล์มผสมที่มีปริมาณยูดราจิตเพิ่มขึ้นจะมีการปลดปล่อยยาในช่วงแรกลดลง

ทั้งนี้เนื่องมาจากคุณสมบัติไม่ละลายน้ำของยูดราจิต อย่างไรก็ตามการซึมผ่านผิวนังยาเม็ดโซล จำกแผ่นฟิล์มทุกชนิดผ่านควบขึ้นไปเพียงร้อยละ 1-2 ภายใน 12 ชั่วโมง ทั้งนี้อาจเนื่องมาจากยาเม็ดฟิล์มที่มีคุณสมบัติละลายน้ำได้ดีและละลายในไขมันได้น้อย รวมทั้งการที่ควบขึ้นไปเป็นแบบผิวนังต่างๆ ในผิวนังมุขย์

Dilek Solpan และคณะ [9] ได้ศึกษาการดูดซึบสีย้อมไฟโตรเจล ซึ่งไฟโตรเจล Poly(N,N-Dimethylamino Ethymethacrylate) ถูกเตรียมโดยการฉายรังสี สารผสมที่จะประกอบด้วย 3 ส่วน นั้นคือ Dimethylamino Ethymethacrylate (DMAEMA) /Ethylene-glycol Dimethacrylate (EGDMA) /water (H_2O) โดยใช้รังสีแกรมม่าที่อุณหภูมิห้อง การบวม 4 ชนิดของ DMAEMA Hydrogel คือ ร้อยละ 338 ที่ pH 7.0 ในน้ำกลั่น ขณะที่สารละลาย Apollofix Red (AR) คือ ร้อยละ 352 ที่ pH 7.0 และสารละลาย Apollofix yellow (AY) คือ ร้อยละ 326 ที่ pH 7.0 ซึ่งปริมาณการดูดซึบของไฟโตรเจล P(DMAEMA) พบว่าปริมาณเจลแห้งเพิ่มขึ้นเป็น 85-131 มิลลิกรัม สำหรับ AR ต่อกรัม และ 58-111 มิลลิกรัม สำหรับ AY ต่อกรัม และพบอีกว่าสารละลายสี-y้อมมีค่า pH ลดลง

โรเบิร์ต มอตโลย และคณะ [10] ได้ทำการสังเคราะห์ไฟโตรเจลจากมอนามอร์ เกลือของโซเดียม 2-อะคริลามิโด-2-เมทิล ชัลโ芬ेट ($AMPSNa^+$) รวมถึงไฟโตรเจลผสมระหว่าง $AMPS-Na^+$ กับสารบogกซีเมธิลไคโตแซน (CMCTS) หรือผสมเข้ากับสารบogกซีเมธิลเซลลูโลส (CMC) ผ่านปฏิกิริยาฟรีเอดิคอลพอลิเมอร์เจลที่สามารถใช้ในการสังเคราะห์เช่น Ethylene Glycol Dimethacrylate (EGDM) และ 4,4-Azo-Bis(4-Cyanopentanoic Acid) (AZO) เป็นตัวเชื่อมต่อสายโซ่และหัวริ่มท่าน้ำสำหรับพนักงานที่ต้องการใช้ไฟโตรเจลในการสังเคราะห์เช่น Swelling หากกว่าไฟโตรเจลชนิด $AMPS-Na^+$ จากการศึกษาอัตราการผ่านของไอออนของแผ่นไฟโตรเจลที่สังเคราะห์ขึ้นพบว่ามีค่าอยู่ในช่วง 61-76 $g/hr.cm^2$ และจากการทดสอบความเป็นพิษต่อเซลล์ L929 โดยวิธี Direct Contact พบว่าไม่แสดงสมบัติความเป็นพิษ ดังนั้นมีความเป็นไปได้ที่จะพัฒนาไฟโตรเจลเหล่านี้ต่อไปเพื่อนำมาใช้ในการรักษาได้จริง

Walker [2] ได้ทำการศึกษาโคพอลิเมอร์ระหว่าง AMPS กับ HEMA เพื่อประยุกต์เป็น Proton-Conducting Polymer Membrane โดยใช้ AIBN เป็นตัวเริ่มและใช้ EGDM เป็นตัวเชื่อมต่อสายโซ่ ที่อุณหภูมิ 60 องศาเซลเซียส เป็นเวลา 8-13 ชั่วโมง จากการเปรียบเทียบความสามารถในการดูดซับน้ำของโคพอลิเมอร์ข้างต้นกับทางการค้าชนิด Nafion® 117 พบร่วงโคพอลิเมอร์ข้างต้นสามารถดูดซับน้ำได้มากกว่าประมาณ 4 เท่า

Lin และคณะ [2] ได้มีการออกแบบไฮโดรเจลเป็นแบบอินเตอร์เพเนเตรตติงพอลิเมอร์เน็ตเวิร์ก (IPN) โดยทำการสังเคราะห์ไฮโดรเจลซึ่งประกอบด้วย พอลิ (ไวนิลแอกโกลอยออล) (Poly (Vinyl Alcohol)) แทรกอยู่กับ พอลิ(อะคริลิก อัซิต-โค-อะครีลามิโน-2-เมทธิลโพเรน-ชัลฟ์) (Poly (Acrylic acid-Co-AMPS)) การสังเคราะห์ใช้ NMBA เป็นตัวเชื่อมต่อสายโซ่ ที่อุณหภูมิ 60 องศาเซลเซียส เป็นเวลา 6 ชั่วโมง ภายใต้บรรยายกาศในโตรเจน พบร่วงความสามารถในการดูดซับน้ำมีค่า Swelling Ratio อยู่ในช่วง 222-326 กรัม H₂O/กรัม Polymer

ในปัจจุบันได้มีการค้นคว้าและวิจัยนำไคโตซานและอนุพันธ์ไปใช้ประโยชน์อย่างแพร่หลาย โดยเฉพาะทางด้านการแพทย์ เนื่องจากไคโตซานและอนุพันธ์เป็นสารที่ได้จากการธรรมชาติ ดังนั้น ร่างกายมนุษย์ก็จะไม่ต่อต้าน จากการศึกษาต่อมาพบว่าไคโตซานสามารถถูกย่อยลายได้ภายในร่างกายของสัตว์ เนื่องจากมีเอนไซม์หลายชนิดที่สามารถย่อยลายมันได้จากการน้ำไคโตซานและอนุพันธ์ยังสามารถป้องกันการติดเชื้อบางชนิดได้ ซึ่งจากข้อดีต่างๆ มากมายนี้เองจึงมีการนำไคโตซานและอนุพันธ์มาใช้งานทางด้านการแพทย์อย่างแพร่หลาย เช่น วัสดุทางการแพทย์ (Biomedical Materials) ซึ่งรวมถึงการนำมาใช้เป็นวัสดุรักษาหรือตกแต่งแพลง ทั้งในรูปของแผ่นพิล์ม พองน้ำ สีน้ำเงิน (Non-Woven Fabrics) และไฮโดรเจล จากการวิจัยที่ผ่านมา พบร่วงไคโตซานและอนุพันธ์เป็นตัวเร่งกระบวนการรักษาแพลง นอกจากนั้นยังสามารถลดการเกิดรอยแพลงเนื่องจากป้องกันแพลงไม้ให้ติดเชื้อและยังสามารถดูดซับน้ำเหลืองจากแพลงได้ ไคโตซานและอนุพันธ์ยังสามารถใช้ผลิตใหม่หลาย ผิวหนังเทียมที่ทำจาก Chitosan-collagen คอนแทคเลนส์ในด้านทันตกรรม พบร่วงไคโตซานและอนุพันธ์สามารถกระตุ้นการสร้างกระดูกและก่อปฏิกิริยาของร่างกายในการต้านสิ่งแปรปรวนภายนอกในร่างกาย นอกจากนั้นสามารถนำไปใช้เป็นสารป้องกันการแข็งตัวของเลือด (Blood Anticoagulant) โดยเฉพาะอนุพันธ์ที่เป็นชนิดชัลเฟต

งานวิจัยที่มีมาก่อนที่เกี่ยวข้องกับการบอกร่องทิลิโคโตซานและใช้เพื่อเป็นวัสดุปิดแพลงส่วนใหญ่ เป็นการนำ CMCTS มาสังเคราะห์ด้วยวิธีต่างๆ โดยมุ่งหวังที่จะนำไฮโดรเจลที่ได้ไปประยุกต์ใช้ทางการแพทย์

Yoshii และคณะ [2] ได้นำอนุพันธ์ของพอลิเมอร์ทางธรรมชาติที่สามารถละลายได้ในน้ำ (Water Soluble) ของคาร์บอกรูมิโนทิลิโคโตซานมาสังเคราะห์เป็นไฮโดรเจล โดยฉายรังสีอิเล็กตรอนหรือรังสี gamma จากโคบล็อต-60 (Co-60) ในการเชื่อมต่อระหว่างสายโซ่ในระบบที่มีน้ำเป็นตัวกลางพบว่า ไฮโดรเจลเหล่านี้สามารถดูดซับน้ำได้ประมาณ 500 กรัม H₂O/กรัม Polymer และจากการศึกษา สมบัติต่อต้านเชื้อแบคทีเรีย (Antibacterial) ของไฮโดรเจล CMCTS ซึ่งทดสอบในแบบที่เรียchnic

E.coli วิเคราะห์ด้วยวิธี Optical Density พบร่ว่าไฮโดรเจลข้างต้นมีฤทธิ์ต่อต้านเชื้อแบคทีเรียที่ค่อนข้างดี

จากการวิจัยข้างต้น ได้มีการศึกษาการสังเคราะห์ไฮโดรเจลด้วยอัตราส่วนผสมที่แตกต่างกันและมีการศึกษาผลของปริมาณการดูดซับน้ำ ซึ่งบางงานวิจัยมีการทดสอบตัวยาเข้าไประหว่างการสังเคราะห์ไฮโดรเจลเพื่อเป็นวัสดุนำส่งยา ดังนั้นผู้วิจัยสนใจที่จะนำไฮโดรเจลแบบสำเร็จรูปมาศึกษาผลของความเข้มของสีย้อมที่มีต่อการดูดซับและการปลดปล่อยออกจากไฮโดรเจลแบบเฟสเดียวและแบบสองเฟส โดยใช้สารละลายสีย้อมเป็นตัวเปรียบเทียบแทนตัวยา



บทที่ 3

วิธีดำเนินโครงการ

3.1 วัสดุตั้งต้นและสารเคมี

3.1.1 สารตัวอย่างสีเย้อม

- 3.1.1.1 สีเย้อม Congo Red
- 3.1.1.2 สีเย้อม Orange II
- 3.1.1.3 สีเย้อม Violet
- 3.1.1.4 น้ำกลั่น

3.2 อุปกรณ์และเครื่องมือ

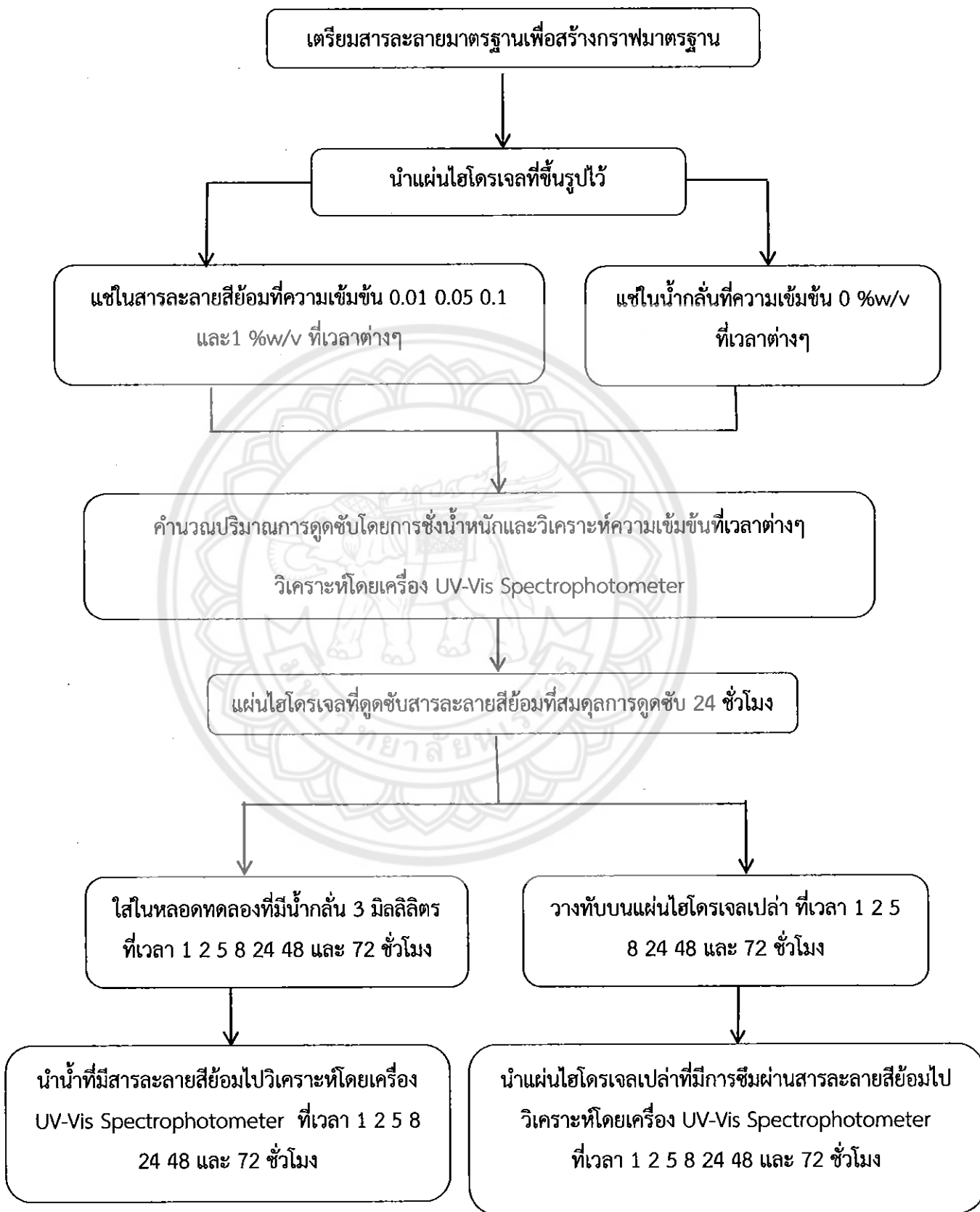
- 3.2.1 เครื่อง UV-Vis Spectrophotometer
- 3.2.2 เครื่องชั่ง 4 ตำแหน่ง
- 3.2.3 ขวดวัดปริมาตร
- 3.2.4 ปีกเกอร์สำหรับเตรียมสารละลาย
- 3.2.5 นาฬิกาจับเวลา
- 3.2.6 แผ่นไฮโดรเจล ขนาดกว้าง 0.75 มิลิเมตร ความยาว 2.5 มิลิเมตร ความหนา 0.05 มิลลิเมตร

3.3 การเตรียมสารละลาย

- 3.3.1 เตรียมสารละลายสีเย้อม ได้แก่ สีเย้อม Congo Red Orange II และ Violet ที่ความเข้มข้น 0.01 0.05 0.1 และ 1 %w/v ปริมาตร 30 มิลลิลิตร

$$\text{ร้อยละโดยน้ำหนักต่อปริมาตร} = (\frac{\text{น้ำหนักตัวถุกละลาย}}{\text{ปริมาตรสารละลาย}}) \times 100 \quad (3.1)$$

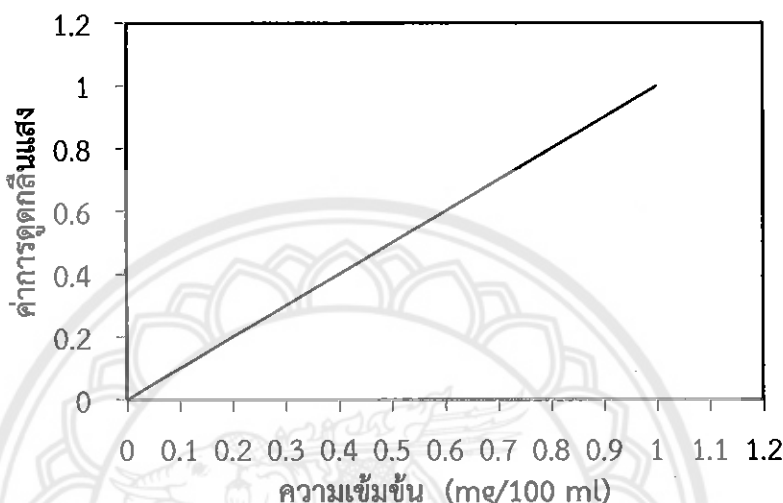
3.4 แผนการดำเนินงานโดยสังเขป



รูปที่ 3.1 แผนการดำเนินงานโดยสังเขป

3.5 ขั้นตอนการปฏิบัติงาน

โดยเตรียมสารละลายน้ำร้อนสีเย็บ 3 ชนิด ที่ความเข้มข้น 0.01 0.05 0.1 และ 1 %w/v เพื่อนำมาสร้างกราฟมาตรฐาน เพื่อใช้เปรียบเทียบสารตัวอย่างในการทดลอง โดยสารละลายน้ำร้อนแต่ละสีเย็บจะต้องทำซ้ำ 3 ครั้ง ในการหาปริมาณของสารจะนำมาสร้างกราฟความสัมพันธ์ระหว่างความเข้มข้นของสารที่ต้องการวิเคราะห์และค่าการดูดกลืนแสง ดังแสดงในรูปที่ 3.2



รูปที่ 3.2 การสร้างกราฟมาตรฐาน เพื่อวิเคราะห์หาความเข้มข้นของสารตัวอย่าง

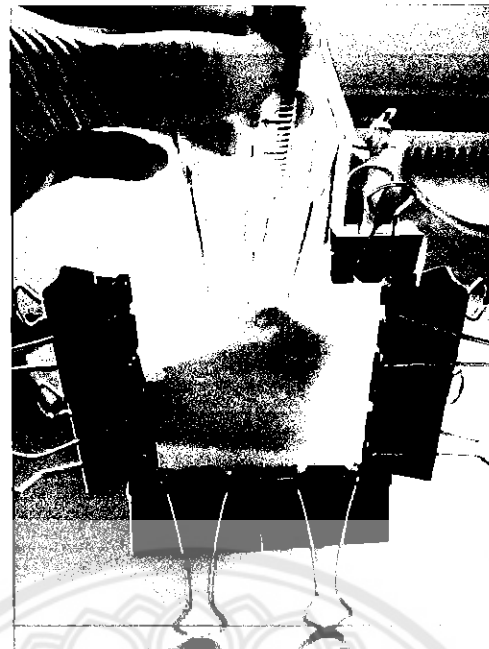
3.5.1 เตรียมแผ่นไฮโดรเจล

3.5.1.1 การเตรียมส่วนผสมเพื่อขึ้นรูปไฮโดรเจล ด้วยสัดส่วนผสมดังนี้ HEMA 4.87 กรัม XL 0.1 กรัม และ PI 0.03 กรัม



รูปที่ 3.3 การเตรียมส่วนผสมเพื่อขึ้นรูปไฮโดรเจล

3.5.1.2 นำส่วนผสมที่เตรียมไว้จากข้อ 3.5.1.1 เรียบร้อยแล้วนำไปฉีดใส่ในแม่แบบที่เราเตรียมไว้โดยมีความหนา 0.04 มิลลิเมตร แสดงดังรูปที่ 3.4



รูปที่ 3.4 ส่วนผสมของไฮโดรเจลถูกฉีดลงในแม่แบบที่เตรียมไว้

3.5.1.3 นำแผ่นไฮโดรเจลใส่ตู้แสงยูวีเพื่อให้ไฮโดรเจลเป็นแผ่นเป็นเวลา 10 นาที



รูปที่ 3.5 แผ่นไฮโดรเจลพร้อมใช้

3.5.1.4 นำแผ่นไฮโดรเจลจากหัวข้อ 3.5.1.3 ไปแข็ง 30 วินาที เพื่อจะตัดแผ่นไฮโดรเจลให้มีความกว้าง 0.75 มิลิเมตร ความยาว 2.5 มิลิเมตร และความหนา 0.05 มิลลิเมตร

3.5.2 การศึกษาปริมาณการคุณภาพซับสีย้อมของแผ่นพิล์มไฮโดรเจล

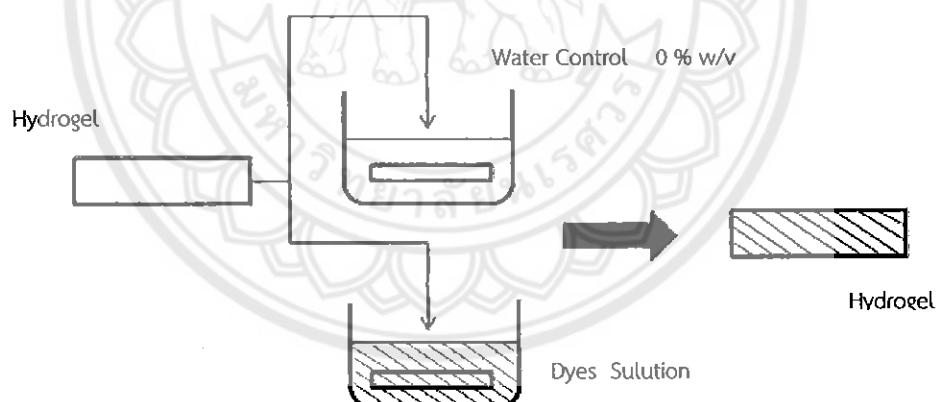
3.5.2.1 นำน้ำกลันใส่ในขวดแก้วให้มีปริมาตร 30 มิลลิลิตร

3.5.2.2 นำแผ่นไฮโดรเจลที่เตรียมไว้แขวนสารละลายน้ำที่ความเข้มข้น 0.01 %w/v เป็นเวลา 24 ชั่วโมง จากนั้นนำแผ่นไฮโดรเจลมาคำนวณปริมาณการดูดซับน้ำและนำแผ่นไฮโดรเจลไปวัดค่าการดูดกลืนแสงโดยเครื่อง UV-Vis Spectrophotometer

3.5.2.3 ทำซ้ำเหมือนเดิมโดยเปลี่ยนสารละลายน้ำที่ความเข้มข้น 0.05, 0.1 และ 1 %w/v ทุกๆ ความเข้มข้น ทำซ้ำ 3 ครั้ง



รูปที่ 3.6 ตัวอย่างการซึมน้ำของไฮโดรเจลในสารละลายน้ำที่เตรียมไว้



รูปที่ 3.7 การศึกษาปริมาณการดูดซับของแผ่นไฮโดรเจล

3.5.3 การศึกษาการผลิตปล่อยสารละลายสีเย้อมจากแผ่นไฮโดรเจล

ในการศึกษาการผลิตปล่อยสารละลายสีเย้อมนี้จะแบ่งเป็น 2 การทดลอง

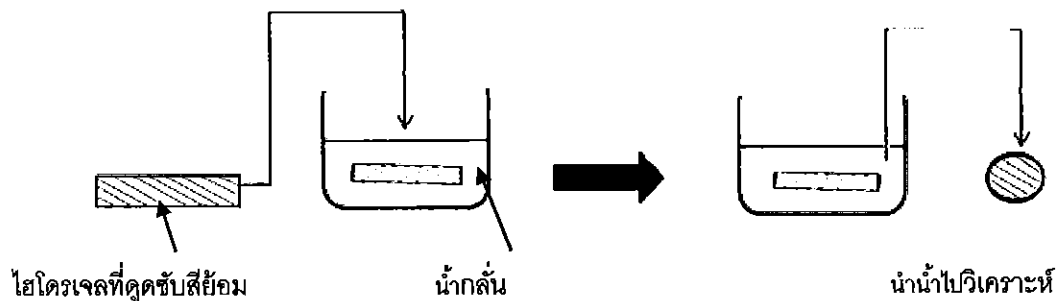
3.5.3.1 การทดลองที่ 1 นำแผ่นไฮโดรเจลที่คุณซับสารละลายสีเย้อมแต่ละชนิด ที่สภาวะการคุณสมดุลของแต่ละความเข้มข้นในหลอดทดลองที่มีน้ำกลั่นปริมาตร 3 มิลลิลิตร เพื่อศึกษาการผลิตปล่อยสีเย้อมออกจากแผ่นไฮโดรเจล ที่เวลา 1 2 5 8 24 48 และ 72 ชั่วโมง จากนั้นนำน้ำกลั่นที่มีสารละลายสีเย้อมแต่ละชนิดผลิตปล่อยจากแผ่นไฮโดรเจลไปวิเคราะห์ ด้วยเครื่องมือ UV-Vis Spectrophotometer คำนวณความเข้มข้นสารละลายสีเย้อมที่ถูกผลิตปล่อย ณ เวลาต่างๆ ภายใต้ 72 ชั่วโมง ทำซ้ำ 3 ครั้ง



รูปที่ 3.8 ตัวอย่างแผ่นไฮโดรเจลที่คุณซับสีเย้อมสมดุลแขวน้ำกลั่นปริมาตร 3 มิลลิลิตร



รูปที่ 3.9 ตัวอย่างน้ำกลั่นที่มีสารละลายสีเย้อมผลิตปล่อยจากแผ่นไฮโดรเจลที่เวลา 5 ชั่วโมง

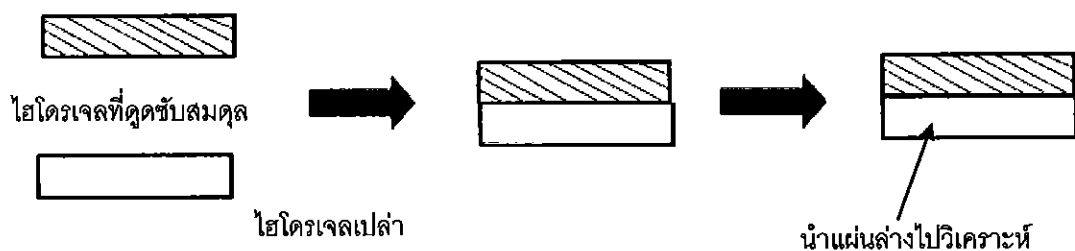


รูปที่ 3.10 การทดสอบการลดปล่อยโมเลกุลสีย้อมแบบสองเฟส

3.5.3.2 การทดลองที่ 2 นำแผ่นไอโอดีเจลที่ดูดซับสารละลายสีย้อมแต่ละชนิดที่สภาวะการดูดซับสมดุลของแต่ละความเข้มข้น วางทับบนแผ่นไอโอดีเจลเปล่าเป็นเวลา 1 2 5 8 24 48 และ 72 ชั่วโมง โดยนำแผ่นไอโอดีเจลเปล่าที่ถูกวางทับไปวิเคราะห์ความเข้มข้นสารละลายสีย้อมที่ลดปล่อยออกจากไอโอดีเจลด้วยเครื่อง UV-Vis Spectrophotometer ที่เวลาต่างๆ ภายใน 72 ชั่วโมง ทำซ้ำ 3 ครั้ง



รูปที่ 3.11 ตัวอย่างการวางทับแผ่นไอโอดีเจล

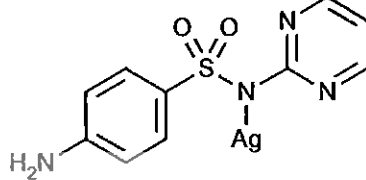
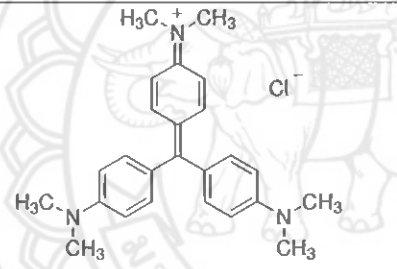
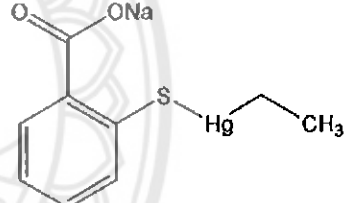
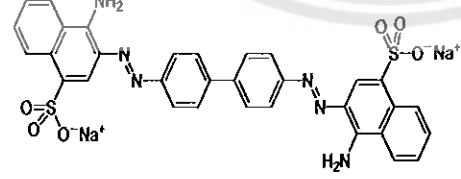
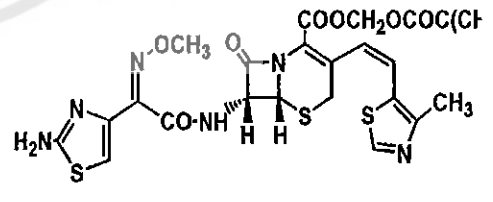


รูปที่ 3.12 การทดสอบการลดปล่อยสารละลายสีย้อมโดยใช้แผ่นไอโอดีเจลวางทับกัน

3.6 โครงสร้างโมเลกุลของสีอ้อมเบรี่ยบเทียบตัวยา [11]

สำหรับการเบรี่ยบเทียบโมเลกุลของสีอ้อมแทนตัวยา ซึ่งมีขนาดมวลโมเลกุลใกล้เคียงกัน ดังแสดงในตารางที่ 3.1 ดังนี้

ตารางที่ 3.1 การเบรี่ยบเทียบโครงสร้างโมเลกุลสีอ้อมและตัวยา

สีอ้อม Orange II	ยา Silver Sulfadiazine
	
สูตรโมเลกุล : $C_{16}H_{11}N_2O_4SNa$ น้ำหนักโมเลกุล : 350.32	สูตรโมเลกุล : $C_{10}H_9AgN_4O_2S$ น้ำหนักโมเลกุล : 357.14
สีอ้อม Violet	ยา Thimerosal
	
สูตรโมเลกุล : $C_{25}H_{30}ClN_3$ น้ำหนักโมเลกุล : 407.98	สูตรโมเลกุล : $C_9H_9HgNaO_2S$ น้ำหนักโมเลกุล : 404.81
สีอ้อม Congo Red	ยา Cefditoren Pivoxil
	
สูตรโมเลกุล : $C_{32}H_{22}N_6Na_2O_6S_2$ น้ำหนักโมเลกุล : 696.66	สูตรโมเลกุล : $C_{25}H_{28}N_6O_7S_3$ น้ำหนักโมเลกุล : 620.724

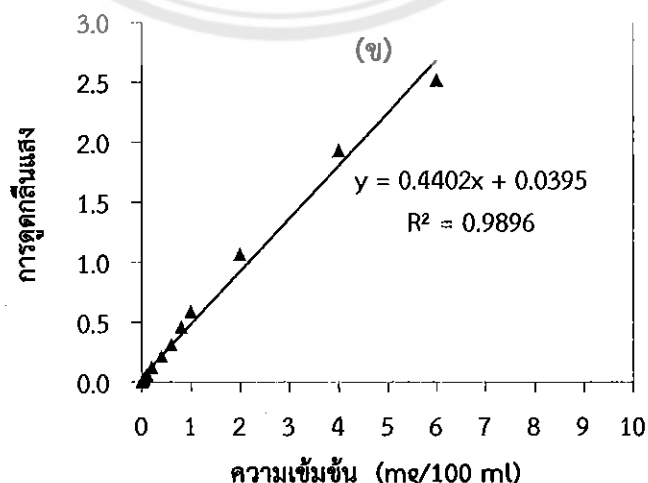
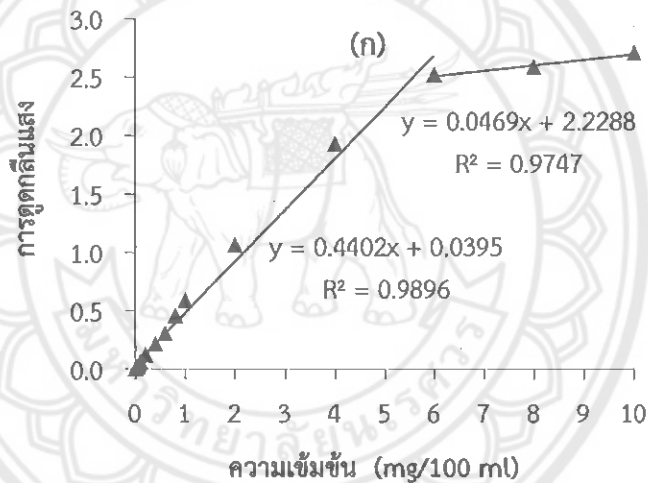
ที่มา: ดัดแปลงจาก กระทรวงสาธารณสุข. (2550). เรื่อง ยาสามัญประจำบ้านแผนปัจจุบัน (ฉบับที่ ๓) และโครงสร้างโมเลกุลของสีอ้อม

บทที่ 4

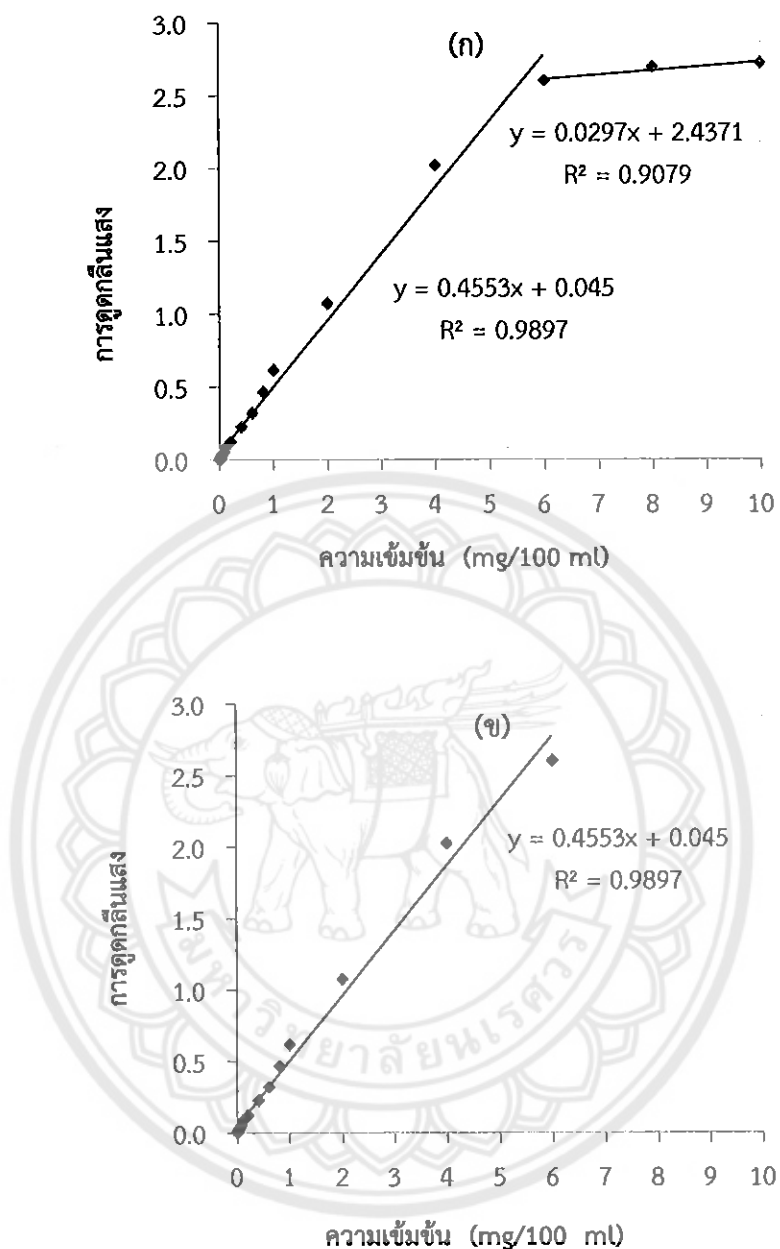
ผลการทดลองและการวิเคราะห์

งานวิจัยครั้งนี้ได้ทำการศึกษาสภาวะการดูดซึมและการปลดปล่อยโมเลกุลของสีเย้อม Congo Red Orange II และ Violet โดยใช้ไฮโดรเจลเป็นตัวดูดซับและปลดปล่อยโมเลกุลของสีเย้อม ที่อุณหภูมิในการศึกษาอุณหภูมิท้อง โดยทำการเปรียบเทียบเวลาในการดูดซับและการปลดปล่อย โดยใช้เครื่อง UV-Vis Spectrophotometer ในการวัดค่าการดูดกลืนแสงเพื่อหาความเข้มข้น จากการศึกษาได้ผลดังนี้

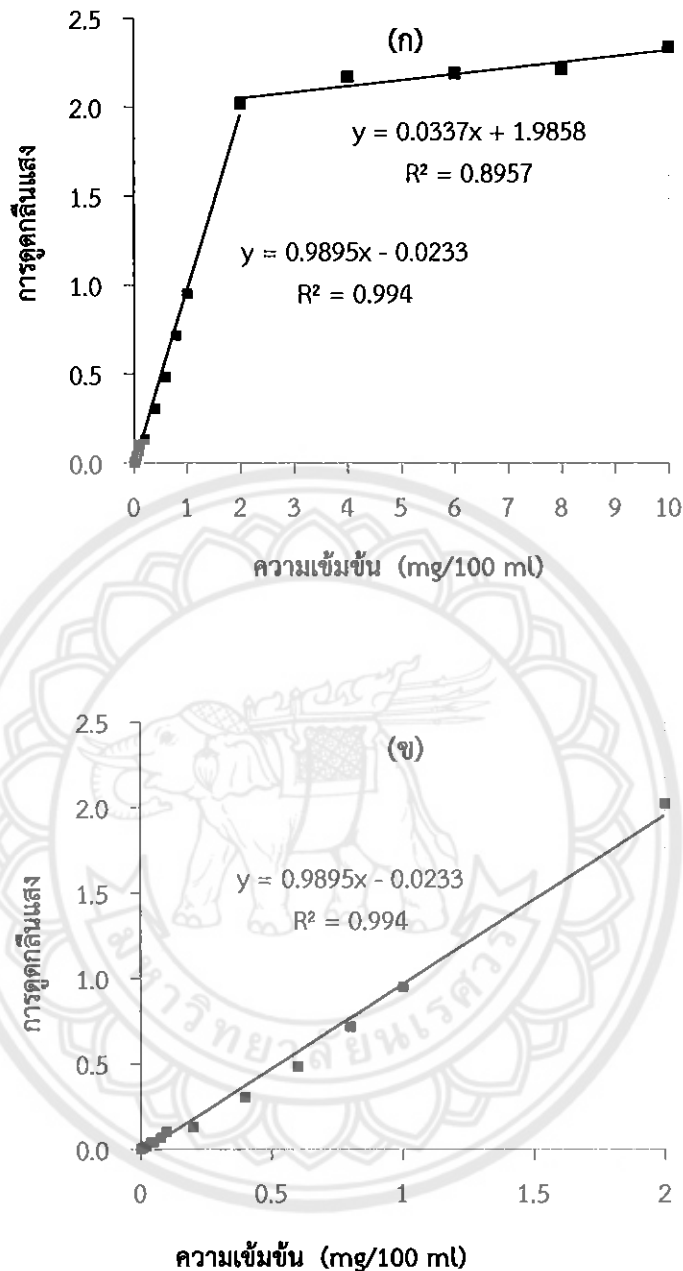
4.1 ผลการเตรียมสารละลายน้ำตรฐานของสีเย้อม



รูปที่ 4.1 กราฟมาตรฐานของสีเย้อม Congo Red



รูปที่ 4.2 กราฟมาตรฐานของสีเย้ม Orange II



รูปที่ 4.3 กราฟมาตรฐานของสีเย้อม Violet

จากการพิจารณากราฟที่ 4.1-4.3 พบว่า การดูดกลืนแสงและความเข้มข้นของสีทั้ง 3 ชนิด ให้กราฟที่ไม่เป็นเส้นตรง ตลอดช่วงของความเข้มข้น โดยผู้ทำการวิจัยได้เลือกช่วงที่ความสัมพันธ์ระหว่างการดูดกลืนและความเข้มข้นเป็นเส้นตรงเป็นกราฟมาตรฐานของสีทั้ง 3 ชนิด ดังแสดงในรูปที่ 4.1-4.3 (χ)

4.2 ผลการดูดซึบไม่เลกุลของสีเย้อม ที่เวลาสมดุล 24 ชั่วโมง

สำหรับผลการทดลองการดูดซึบของไม่เลกุลสีเย้อมทั้ง 3 ชนิด โดยในขั้นแรกทางสภาวะที่เหมาะสมในการดูดซึบที่สมดุลของสีเย้อม โดยได้นำหนักสมดุลที่ 24 ชั่วโมง หลังจากนั้นนำระยะเวลาที่ 24 ชั่วโมงมาใช้ ในการเตรียมสารละลายสีเย้อมเริ่มต้นที่ความเข้มข้นต่างๆ ตั้งแต่ความเข้มข้น 1 %w/v ถึง 10 %w/v พบร่วมกันว่าเมื่อทดลองการดูดซึบที่ความเข้มข้น 1 %w/v ค่าในการดูดกลืนของแสงมากกว่าหนึ่งพีค ทำให้ต้องลดความเข้มข้นลง ตั้งแสดงในตารางที่ 4.1

ตารางที่ 4.1 แสดงผลการดูดซึบของสีเย้อมทั้ง 3 ชนิด ที่เวลาสมดุล 24 ชั่วโมง

ชนิดของสีเย้อม	ความเข้มข้นเริ่มต้นการดูดซึบ ที่เวลาสมดุล 24 ชั่วโมง			
	0.01 %w/v	0.05 %w/v	0.1 %w/v	1% w/v
Congo Red	0.252	0.986	1.400	8.227*
Orange II	1.945	2.825*	5.451*	8.785*
Violet	3.587*	5.555*	8.997*	10.322*

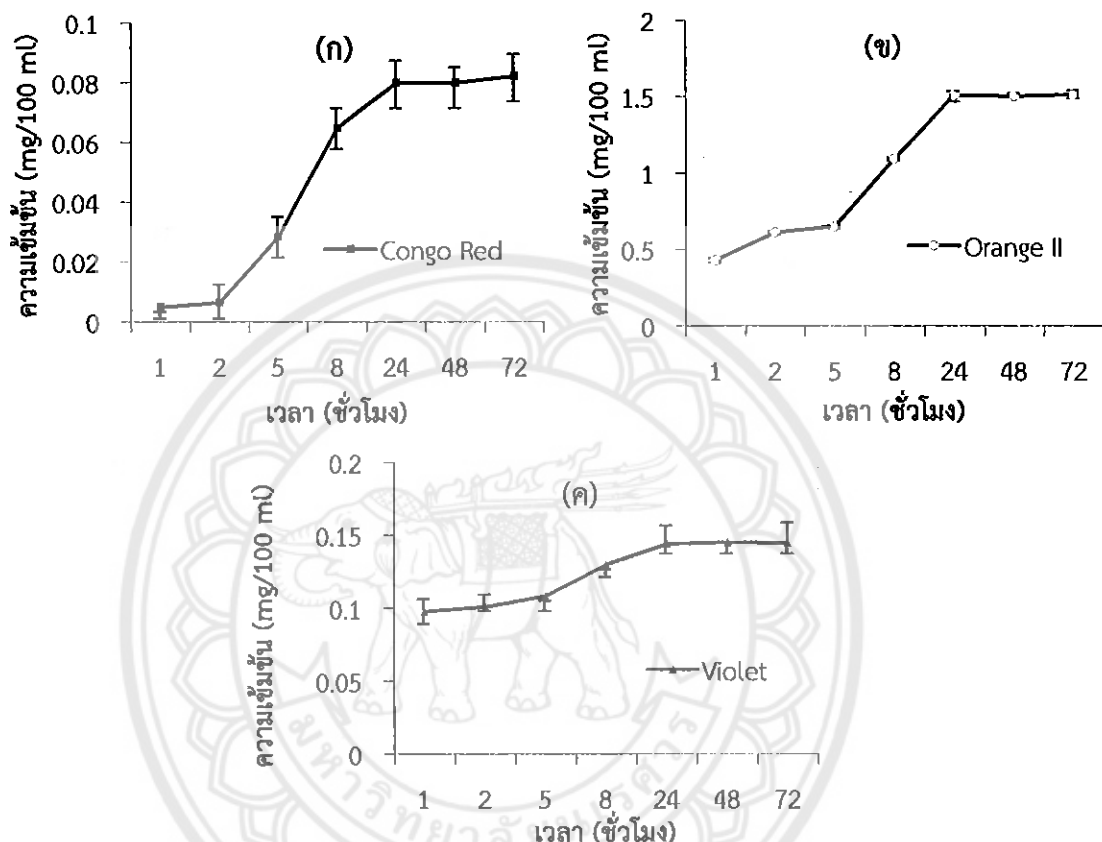
หมายเหตุ: หน่วย mg/100 ml

สัญลักษณ์ (*) หมายถึง ค่าการดูดกลืนแสงมีมากกว่าหนึ่งพีค

4.3 ศึกษาการปลดปล่อยโมเลกุลของสีย้อมออกจากแผ่นไฮโดรเจล

4.3.1 การปลดปล่อยโมเลกุลของสีย้อมออกจากแผ่นไฮโดรเจลแบบสองเฟส

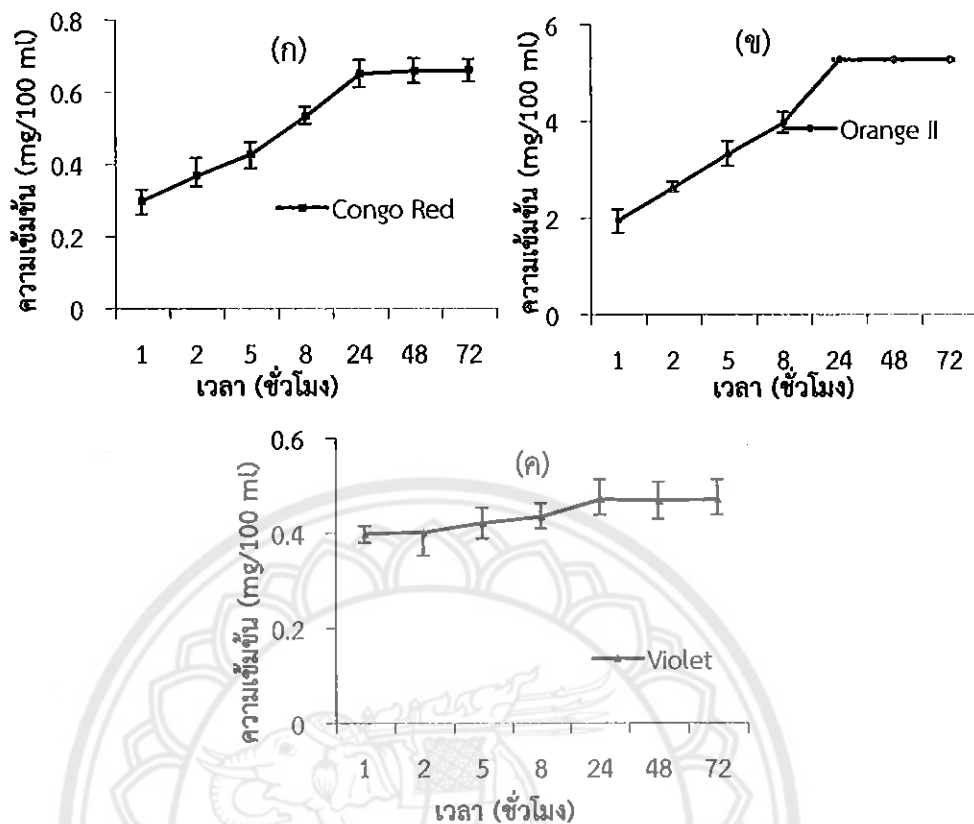
จากการทดลองการปลดปล่อยโมเลกุลของสีย้อม Congo Red Orange II และ Violet ที่ความเข้มข้นเริ่มต้นของการดูดซึบ 0.01 0.05 0.1 และ 1 %w/v แสดงดังนี้



รูปที่ 4.4 กราฟแสดงการปลดปล่อยโมเลกุลสีย้อมทั้ง 3 ชนิดแบบสองเฟส
ที่ความเข้มข้นเริ่มต้นการดูดซึบ 0.01 %w/v

จากรูปที่ 4.4 แสดงผลการปลดปล่อยโมเลกุลของสีย้อมแบบสองเฟสทั้ง 3 ชนิด คือ สีย้อม Congo Red Orange II และ Violet ที่ความเข้มข้นเริ่มต้นการดูดซึบ 0.01 %w/v โดยใช้แผ่นไฮโดรเจลที่ดูดซับสีย้อมปลดปล่อยในน้ำปริมาตร 3 มิลลิลิตร พบร่วม

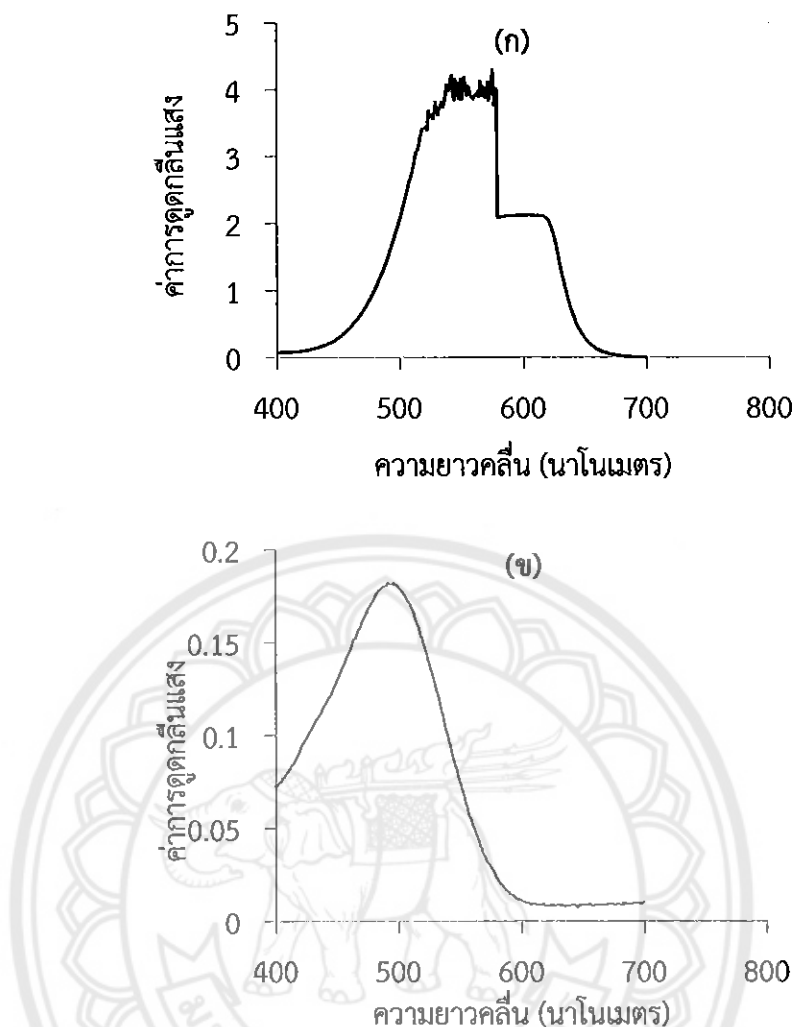
ค่าการปลดปล่อยโมเลกุลของสีย้อมนั้นมีค่าไม่เท่ากัน พบร่วมเวลาเริ่มเข้าสู่สมดุลที่ 24 ชั่วโมง โดยเมื่อเปรียบเทียบกับขนาดมวลโมเลกุลสีย้อมของทั้ง 3 ชนิดแล้ว สีย้อม Congo Red มีค่าน้อยที่สุด คือ $0.0798 \text{ mg}/100 \text{ ml}$ เนื่องจากสีย้อม Congo Red มีขนาดมวลโมเลกุลใหญ่และซับซ้อน ทำให้การปลดปล่อยโมเลกุลของสีย้อมเป็นไปได้ยาก ส่วนสีย้อม Orange II ให้การปลดปล่อยโมเลกุลของสีย้อมมากสุด คือ $1.511 \text{ mg}/100 \text{ ml}$ นั้นเป็นเพราะว่า ขนาดมวลโมเลกุลของสีย้อมมีขนาดเล็กกว่าทั้ง 3 ชนิด ทำให้การเคลื่อนที่ของมวลโมเลกุลเป็นไปได้ง่ายและสีย้อม Violet ที่ 24 ชั่วโมง มีการปลดปล่อยออกมาน้อยกว่า คือ $0.144 \text{ mg}/100 \text{ ml}$



รูปที่ 4.5 กราฟแสดงการปลดปล่อยไมเลกุลสีย้อมทั้ง 3 ชนิดแบบสองเฟส
ที่ความเข้มข้นเริ่มต้นการดูดซึม 0.05 %w/v

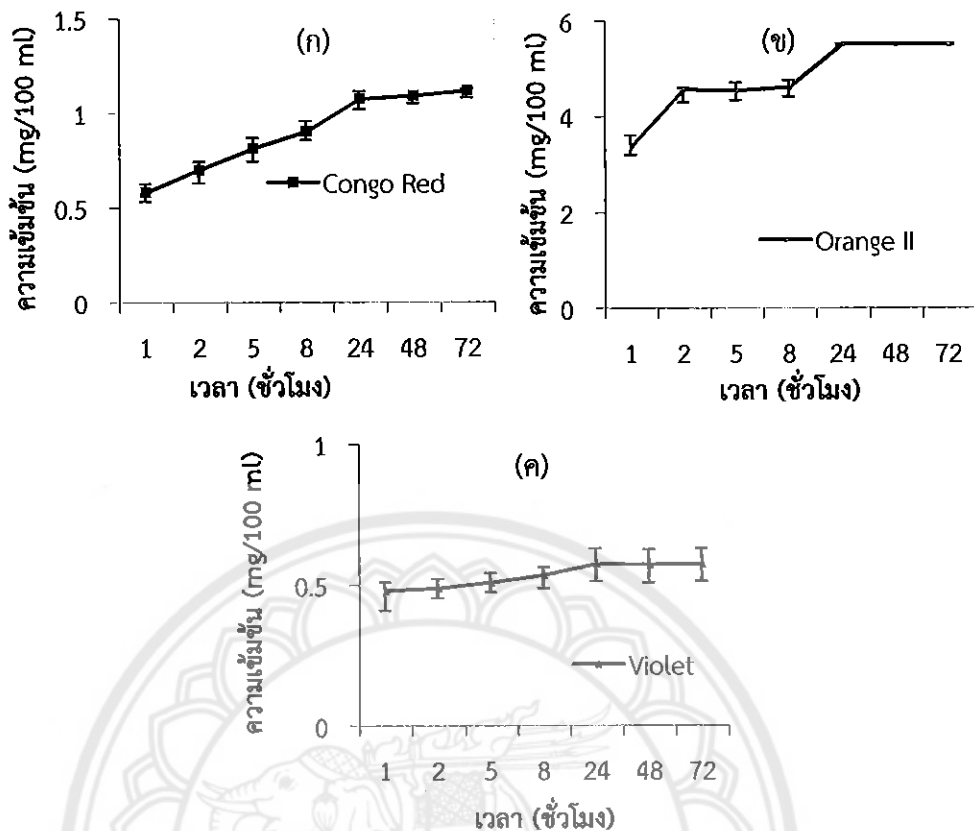
จากการแสดงให้เห็นถึงการปลดปล่อยไมเลกุลของสีย้อม Congo Red Orange II และ Violet ที่ความเข้มข้นเริ่มต้นการดูดซึบ 0.05 %w/v แบบสองเฟส โดยใช้แผ่นไฮโดรเจลที่ดูดซับสีย้อมปลดปล่อยในน้ำปริมาตร 3 มิลลิลิตร พบว่า

ปริมาณการปลดปล่อยไมเลกุลสีย้อมมีค่าไม่เท่ากัน โดยในช่วงแรกมีการปลดปล่อยอย่างรวดเร็ว เมื่อพิจารณาที่ 24 ชั่วโมง ณ เวลาเริ่มเข้าสู่สมดุล โดยปริมาณการปลดปล่อยไมเลกุลของสีย้อม Orange II มีค่าสูงสุด คือ 0.288 mg/100 ml และไมเลกุลสีย้อม Congo Red มีค่ารองลงมา คือ 0.651 mg/100 ml เนื่องจากสีย้อม Congo Red มีโครงสร้างไมเลกุลที่ซับซ้อนและมีมวลไมเลกุลใหญ่กว่า ทำให้การเคลื่อนที่ไมเลกุลของสีย้อม Congo Red ปลดปล่อยออกมากได้น้อยกว่าสีย้อม Orange II สำหรับการปลดปล่อยไมเลกุลของสีย้อม Violet ให้ผลตรงกันข้ามสำหรับในการทดลองนี้ ซึ่งสีย้อม Violet มีการปลดปล่อยอย่างความเข้มข้นออกมาน้อยสุด คือ 0.471 mg/100 ml นั้นเป็นเพราะว่าช่วงค่าการดูดกลืนแสงของสีย้อม Violet อยู่นอกช่วงกรามมาตรฐานที่เป็นเส้นตรงเส้นที่ 1 ดังรูปที่ 4.6 (ข) เพราะฉะนั้นผลการทดลองจึงมีผลตรงข้ามดังที่แสดงดังกราฟข้างต้น



รูปที่ 4.6 กราฟแสดงการเปรียบเทียบค่าการดูดกลืนแสงที่มีจำนวนมากกว่าหนึ่งพีค (ก) มีจำนวนมากกว่าหนึ่งพีค (ข) มีจำนวนหนึ่งพีค

รูปที่ 4.6 แสดงการเปรียบเทียบค่าการดูดกลืนแสงที่เกิดจากการวัดสารตัวอย่าง โดยรูปที่ 4.6 (ก) เกิดจากการวัดสารตัวอย่างที่มีจำนวนพีคของค่าการดูดกลืนแสงมากกว่าหนึ่งพีค ซึ่งการเกิดจำนวนพีคมาก เป็นผลมาจากการความเข้มข้นของสารตัวอย่างที่วัดมากเกิน และจากรูปที่ 4.6 (ข) แสดงพีคค่าการดูดกลืนแสงของสารตัวอย่างที่วัดซึ่งเกิดขึ้นเพียงหนึ่งพีค นั้นเป็นเพราะการวัดค่าการดูดกลืนแสงของสารตัวอย่างที่ความเข้มข้นน้อยๆ ซึ่งไม่เกินชีดจำกัดของเครื่องวัดทำให้การวัดเกิดความแม่นยำ

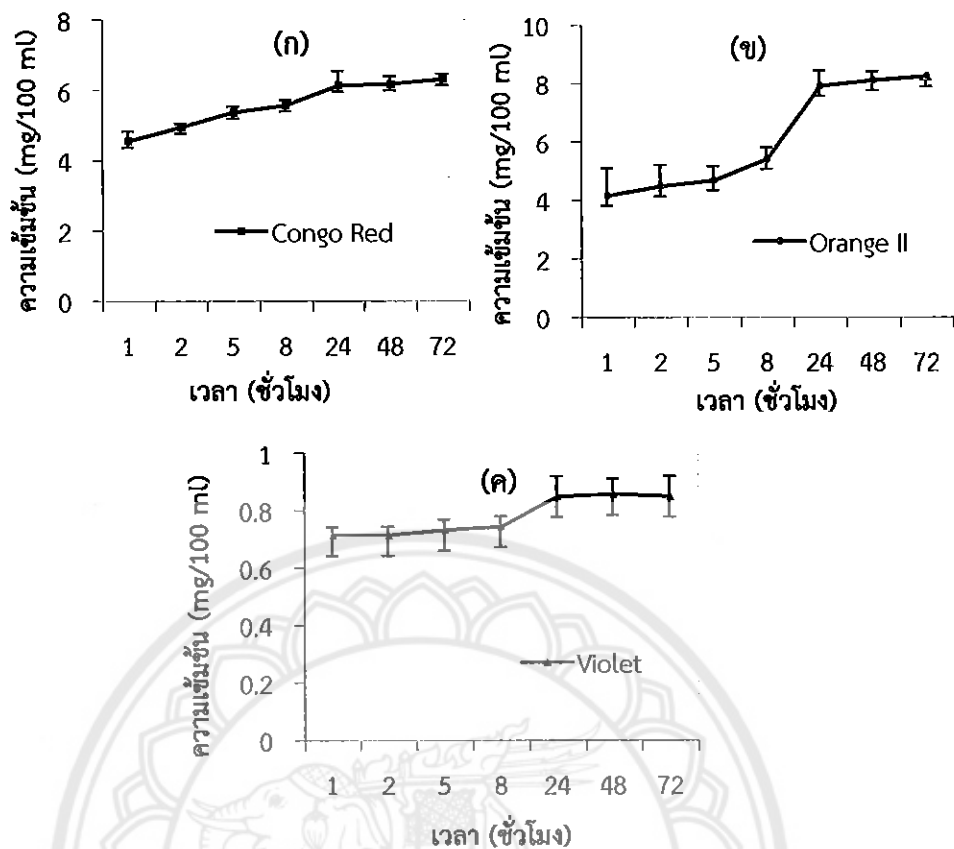


รูปที่ 4.7 กราฟแสดงการปลดปล่อยโมเลกุลสีเย้อมทั้ง 3 ชนิดแบบสองเฟส
ที่ความเข้มข้นเริ่มต้นการดูดซึม 0.1 %w/v

จากราฟแสดงให้เห็นถึงการปลดปล่อยโมเลกุลของสีเย้อม Congo Red Orange II และ Violet ที่ความเข้มข้นเริ่มต้นการดูดซึม 0.1 %w/v แบบสองเฟส โดยใช้แผ่นไฮโดรเจลที่ดูดซึมสีเย้อม ปลดปล่อยในน้ำปริมาตร 3 มิลลิลิตร พบร่วม

จากรูปที่ 4.7 เมื่อเราเลือกพิจารณาช่วงเริ่มแรกในการปลดปล่อยโมเลกุลของสีเย้อมทั้ง 3 ชนิด พบร่วมให้ปริมาณการปลดปล่อยเริ่มต้นต่างกัน เนื่องจาก การดูดซึบของแต่ละสีเย้อมมีค่าต่างกัน โดยสีเย้อม Congo red Orange II และ Violet มีความเข้มข้นดูดซึบเข้าในไฮโดรเจล คือ 1.400 5.451 และ 8.997 mg/100 ml ตามลำดับ จะเห็นว่า การดูดซึบของสีเย้อม Violet มีค่ามากสุด แต่กลับให้การปลดปล่อยน้อยสุดนั้นเป็นเพราะว่า ค่าการดูดกลืนแสงของสีเย้อม Violet ที่วัดได้จากเครื่องมีจำนวนพิคมากกว่าหนึ่งพีค ตัวอย่างกราฟพีค แสดงในรูปที่ 4.6 เราจึงเลือกช่วงกราฟมาตรฐานของสีเย้อม Violet เส้นตรงที่ 2 ของรูปที่ 4.3 (g) มาคำนวณ

สำหรับช่วงเวลาเริ่มเข้าสู่สมดุลที่ 24 ชั่วโมง พบร่วมการปลดปล่อยโมเลกุลของสีเย้อม Congo Red มีค่า 1.075 mg/100 ml ซึ่งน้อยกว่า สีเย้อม Orange II ที่มีค่า 5.514 mg/100 ml จากผลการทดลองนี้สอดคล้องกับทฤษฎีที่ว่าขนาดมวลโมเลกุลที่ซับซ้อนมีผลต่อการดูดซึบและการปลดปล่อยโดยสีเย้อม Congo Red มีโครงสร้างมวลโมเลกุลที่ซับซ้อนและมีมวลโมเลกุลขนาดใหญ่

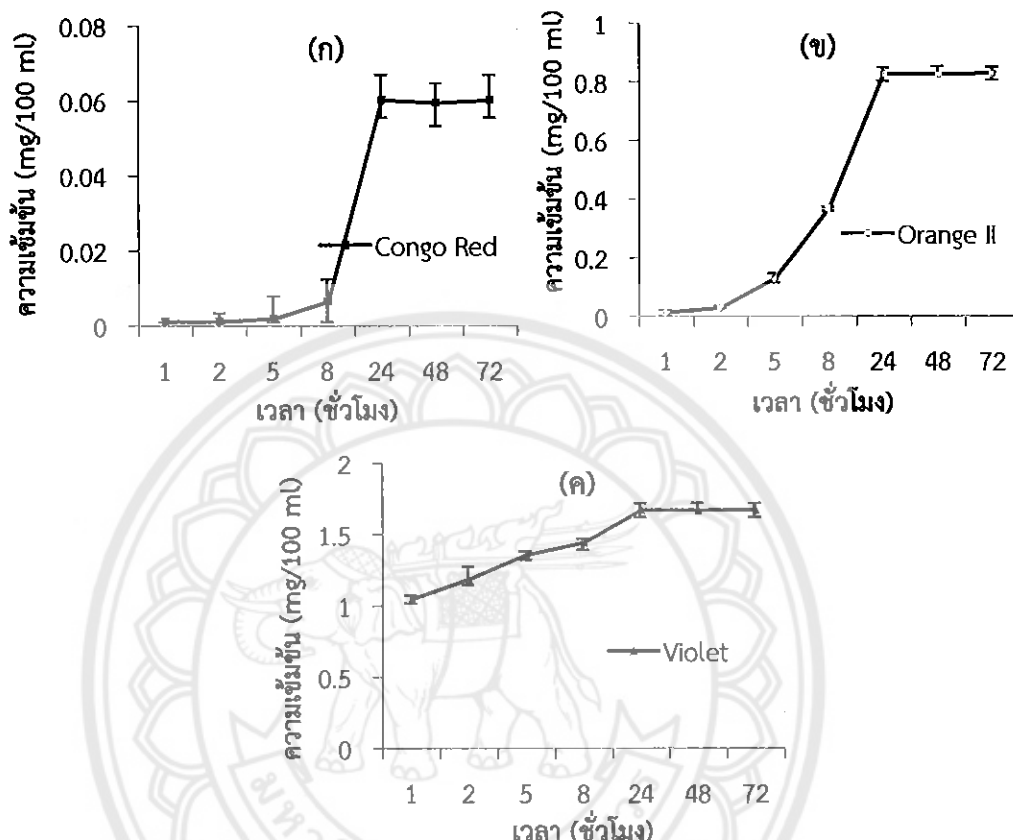


รูปที่ 4.8 กราฟแสดงการลดปล่อยไมเลกุลสีย้อมหั้ง 3 ชนิดแบบสองเฟส
ที่ความเข้มข้นเริ่มต้นการดูดซึม 1 %w/v

จากรูปที่ 4.8 แสดงให้เห็นถึงการลดปล่อยไมเลกุลของสีย้อม Congo Red Orange II และ Violet ที่ความเข้มข้นเริ่มต้นการดูดซึม 1 %w/v แบบสองเฟส โดยใช้แผ่นไฮโดรเจลที่ดูดซับสีย้อม ลดปล่อยในน้ำปริมาตร 3 มิลลิลิตร พบว่าช่วงเวลาแรกก่อนถึงสมดุลการลดปล่อยไมเลกุลสีย้อม เป็นไปอย่างรวดเร็ว นั่นเป็นเพราะความแตกต่างระหว่างความเข้มข้นหั้งสองเฟสมีค่าต่างกัน ทำให้ ช่วงแรกมีแรงขับเคลื่อนของมวลไมเลกุลมากพอด้วย สำหรับช่วงเวลาที่เริ่มเข้าสู่สมดุลของสีย้อมหั้ง 3 ชนิด ที่เวลา 24 ชั่วโมง สีย้อม Congo Red มีค่า 6.137 mg/100 ml สีย้อม Orange II มีค่า 7.920 mg/100 ml และสีย้อม Violet มีค่า 0.849 mg/100 ml จะเห็นว่า สีย้อม Violet มีค่าน้อยกว่าสีย้อม Congo Red ซึ่งให้ผลตรงกันข้ามสำหรับการทดลองนี้ นั้นเป็นเพราะว่า ทำการลดปล่อยไมเลกุล ของสีย้อมหั้ง 3 ชนิด วัดค่าการดูดกลืนลงมากกว่าหนึ่งพีค ซึ่งจะทำให้ผลคลาดเคลื่อน

4.3.2 การปลดปล่อยโมเลกุลของสีเย้อมออกจากแผ่นไฮโดรเจลแบบเฟสเดี่ยว

จากการทดลองการแสดงการปลดปล่อยโมเลกุลของสีเย้อม Congo Red Orange II และ Violet ที่ความเข้มข้นเริ่มต้นของการถูกซับ 0.01 0.05 0.1 และ 1 %w/v แสดงดังนี้

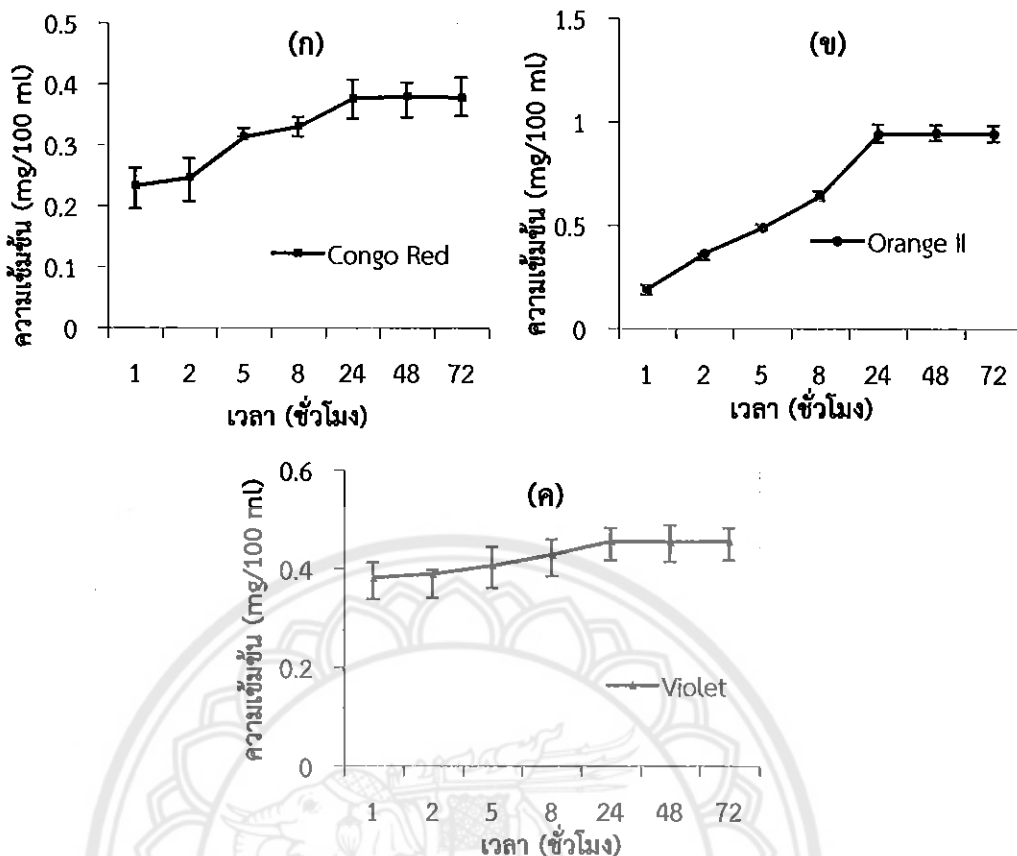


รูปที่ 4.9 กราฟแสดงการปลดปล่อยโมเลกุลสีเย้อมทั้ง 3 ชนิดแบบเฟสเดี่ยว
ที่ความเข้มข้นเริ่มต้นการถูกซึม 0.01 %w/v

จากรูปที่ 4.9 แสดงผลของการปลดปล่อยโมเลกุลของสีเย้อม Congo Red Orange II และ Violet แบบเฟสเดี่ยว ที่ความเข้มข้นเริ่มต้นการถูกซับ 0.01 %w/v พบร้า

การปลดปล่อยโมเลกุลของสีเย้อมทั้ง 3 ชนิด ในช่วงแรกมีการเพิ่มขึ้นด้วยอัตราที่ช้าลง โดยในช่วงแรกการเคลื่อนที่ของโมเลกุลของสีเย้อมต้องมีแรงขับตันมาก อันเนื่องมาจากความแตกต่างระหว่างเฟสของไฮโดรเจลทั้งสอง โดยเมื่อเพิ่มเวลามากขึ้น จะทำให้การสะสมของความเข้มข้นของผิวนานมากขึ้น จนความเข้มข้นของไฮโดรเจลทั้งสองเริ่มเข้าสู่สมดุล

จากการทดลองการปลดปล่อยแบบเฟสเดี่ยวและแบบสองเฟสที่ความเข้มข้นการถูกซับเริ่มต้น 0.01 %w/v ให้พิศการถูกกลืนแสงเพียงหนึ่งพิศ ทำให้ผลการทดลองแม่นยำที่สุด โดยเมื่อพิจารณาการเปรียบเทียบรูปที่ 4.5 (ก) กับ 4.9 (ก) จะเห็นว่าการปลดปล่อยโมเลกุลสีเย้อมในระยะเวลาช่วงแรกก่อนเข้าสู่สมดุลของรูปที่ 4.5 (ก) ให้การปลดปล่อยต่ำกว่ารูปที่ 4.9 (ก)



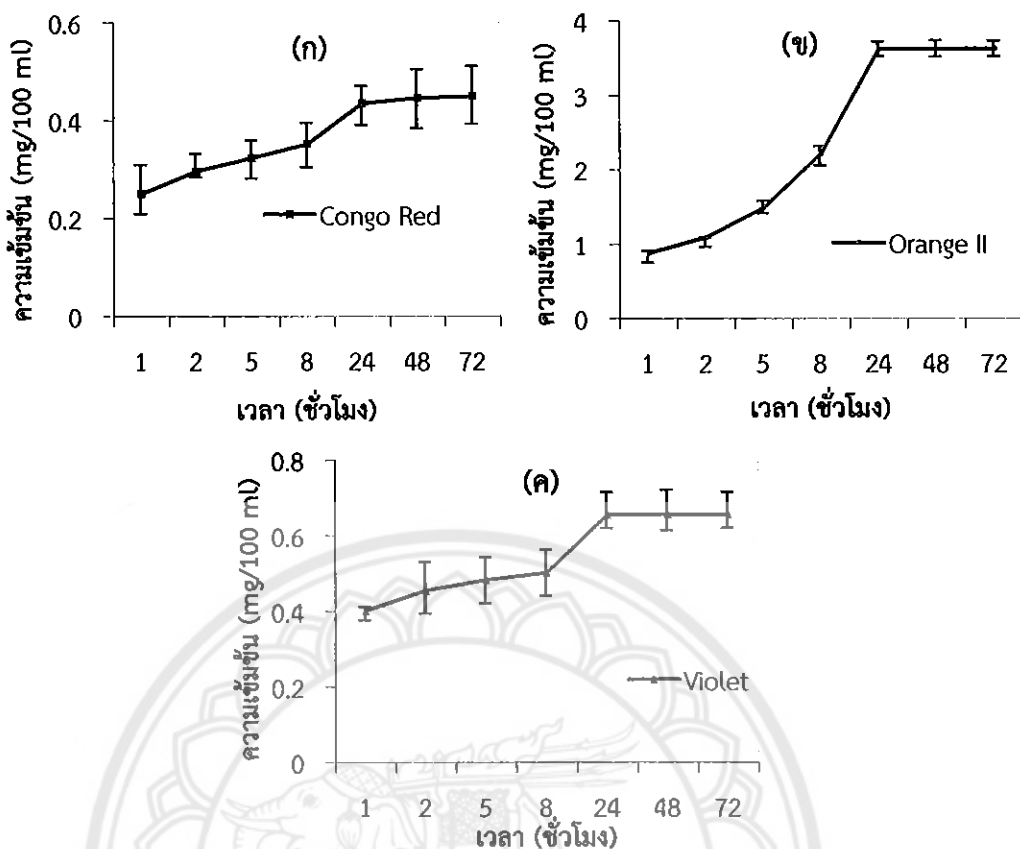
รูปที่ 4.10 กราฟแสดงการปลดปล่อยไม่เลกุลสีย้อมทั้ง 3 ชนิดแบบเฟสเดี่ยว
ที่ความเข้มข้นเริ่มต้นการตัดซึม 0.05 %w/v

การทดลองการปลดปล่อยไม่เลกุลสีย้อม Congo Red Orange II และ Violet แบบเฟสเดี่ยว โดยใช้แผ่นไออกโซโรเจลดูดซับที่ความเข้มข้น 0.05 %w/v ปลดปล่อยบนไออกโซโรเจลเปล่า ดังแสดงในรูปที่ 4.10 พบว่า

ปริมาณการปลดปล่อยไม่เลกุลของสีย้อมมีค่าไม่เท่ากัน โดยปริมาณการปลดปล่อยไม่เลกุลของสีย้อม Violet มีค่ามากที่สุด ไม่เลกุลสีย้อม Congo Red มีค่าน้อยสุด

สำหรับปริมาณการปลดปล่อยไม่เลกุลของสีย้อม Orange II และสีย้อม Congo Red มีค่าเพิ่มขึ้นอย่างรวดเร็วในช่วงเวลา 5 ชั่วโมงแรก และหลังจากนั้นปริมาณการปลดปล่อยไม่เลกุลสีย้อมมีค่าเพิ่มขึ้นด้วยอัตราที่ช้าลง นั้นเป็น เพราะว่าปริมาณสีย้อมที่ถูกปลดปล่อยเข้าไปอยู่ในแผ่นไออกโซโรเจลเปล่ามีค่าความเข้มข้นเริ่มต้น การส่งผ่านไม่เลกุลสีย้อมเริ่มเข้าสู่สมดุล

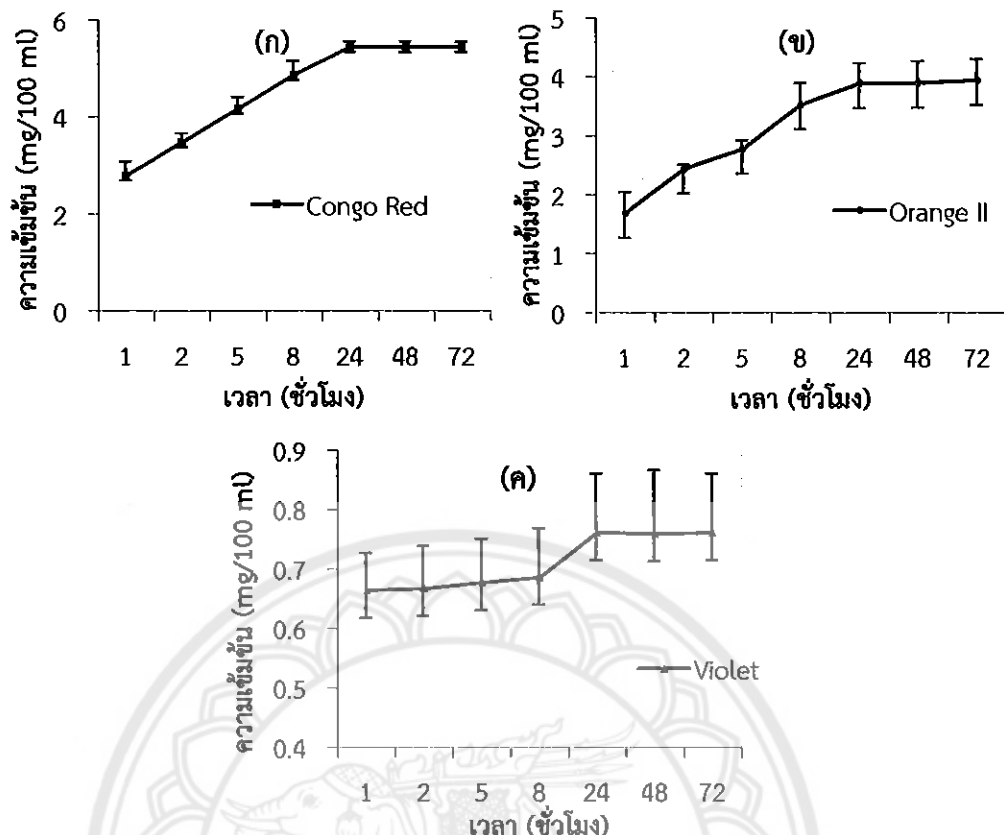
เมื่อพิจารณาถึงโครงสร้างและขนาดมวลไม่เลกุลของสีย้อม สำหรับการปลดปล่อยไม่เลกุลของสีย้อม Congo Red มีค่าน้อยสุด นั้นเป็น เพราะว่าโครงสร้างไม่เลกุลของสีย้อม Congo Red มีโครงสร้างที่ซับซ้อนและมีขนาดมวลไม่เลกุลใหญ่ ทำให้เกิดการเคลื่อนที่ของมวลไม่เลกุลสีย้อม Congo Red เป็นไปได้ยาก



รูปที่ 4.11 กราฟแสดงการปลดปล่อยโนเลกุลสีย้อมทั้ง 3 ชนิดแบบเฟสเดียว
ที่ความเข้มข้นเริ่มต้นการดูดซึม 0.1 %w/v

จากการทดลองการปลดปล่อยโนเลกุลสีย้อม Congo Red, Orange II และ Violet แบบเฟสเดียว โดยใช้แอลกอฮอล์เจลดูดซึมที่ความเข้มข้น 0.1 %w/v ปลดปล่อยบนไอกอเรเจลเปล่า ดังแสดงในรูปภาพที่ 4.11 พบว่า

เมื่อพิจารณาช่วงเวลา 24 ชั่วโมง จะเห็นว่าการปลดปล่อยโนเลกุลสีย้อม Congo Red กับสีย้อม Orange II พบรากการปลดปล่อยโนเลกุลสีย้อม Orange II ให้ค่ามากกว่า สีย้อม Congo Red คือ 3.626 mg/100 ml และ 0.436 mg/100 ml ตามลำดับและสีย้อม Violet มีค่า 0.655 mg/100 ml ในกรณี สีย้อม Violet ที่มีการปลดปล่อยโนเลกุลสีย้อมน้อยกว่าสีย้อม Orange II เป็นเพราะจำนวนพีคการดูดกลืนแสงของสีย้อม Violet มีมากกว่าหนึ่งพีค จึงส่งผลต่อการใช้กราฟมาตรฐานของสีย้อม มาคำนวณทำให้ผลการทดลองคลาดเคลื่อน



รูปที่ 4.12 กราฟแสดงการลดปล่อยโนเลกุลสีย้อมทั้ง 3 ชนิดแบบเฟสเดี่ยว
ที่ความเข้มข้นเริ่มต้นการดูดซึม 1 %w/v

จากการทดลองการลดปล่อยโนเลกุลสีย้อม Congo Red Orange II และ Violet แบบเฟสเดี่ยว โดยใช้แผ่นไอกอเรจดูดซับที่ความเข้มข้น 1 %w/v ปลดปล่อยบนไฮดรเจลเป็นลักษณะแสดงในรูปที่ 4.12 พบว่า

สำหรับการทดลองนี้เมื่อพิจารณา ช่วงเวลาถึง 8 ชั่วโมง จะพบว่าการลดปล่อยโนเลกุลของสีย้อม Congo Red ให้ค่าสูงสุด คือ 4.396 mg/100 ml และการลดปล่อยโนเลกุลของสีย้อม Orange II มีค่าน้อยกว่า Congo Red คือ 3.891 mg/100 ml และการลดปล่อยโนเลกุลของสีย้อม Violet ให้ค่าน้อยที่สุด คือ 0.761 mg/100 ml จากผลการทดลองได้ผลตรงกันข้ามกับทฤษฎีขนาดมวลโนเลกุล ที่กล่าวไว้ว่า สีย้อม Congo Red มีขนาดมวลโนเลกุลที่ซับซ้อนและใหญ่กว่า แต่กลับให้การลดปล่อยมากสุด นั้นเป็นเพราะสีย้อม Violet และสีย้อม Orange II ให้พิคค่าการดูดกลืนแสงมากกว่าหนึ่งพิคซิงเมื่อนำมาคำนวณแล้วทำให้มีผลกระทบต่อผลการทดลอง

4.4 ผลกระทบของสีอ้อม

สำหรับการดูดซึบของสีอ้อมทั้ง 3 ชนิด สีอ้อม Congo red Orange II และ Violet โดยสีอ้อม Violet ให้ค่าการดูดซึบมากสุดตามด้วยสีอ้อม Orange II และสุดท้ายสีอ้อม Congo Red ให้ค่าการดูดซึบน้อยที่สุด เหตุผลที่สีอ้อม Violet ให้ค่าการดูดซึบมากสุดอาจเป็นเพราะกลการการติดสีอ้อม Violet ที่มีประจุเป็นบวก (Basic Dye) จึงเกิดการดึงดูดระหว่างมวลไม่เลกุลที่มีประจุตรงข้ามกันไปยังแผ่นไฮโดรเจลและกรณีที่สีอ้อม Congo Red มีค่าการดูดซึบน้อยที่สุด เป็นเพราะสีอ้อมมีขนาดมวลไม่เลกุลที่ใหญ่และโครงสร้างที่ซับซ้อนทำให้การแพร่เข้าไปในไฮโดรเจลได้ยาก

สำหรับการปลดปล่อยไม่เลกุลของสีอ้อมทั้ง 3 ชนิด สีอ้อม Congo Red Orange II และ Violet โดยเราเลือกพิจารณาความเข้มข้นเริ่มนั่นของการดูดซึบน้อยสุดที่ 0.01 %w/v ซึ่งให้ผลแม่นยำที่สุด ทั้งการปลดปล่อยแบบเฟสเดียวและแบบสองเฟส

4.4.1 พนวิ่งการปลดปล่อยสีอ้อมแบบสองเฟส สีอ้อม Orange II ให้ค่าการปลดปล่อยมากสุดตามด้วยสีอ้อม Violet และสีอ้อม Congo Red ให้ค่าการปลดปล่อยน้อยที่สุด ซึ่งสอดคล้องกับขนาดของมวลไม่เลกุลของสีอ้อมทั้ง 3 ชนิด โดยสีอ้อม Congo Red มีขนาดมวลไม่เลกุลใหญ่สุด ทำให้การเคลื่อนที่ของไม่เลกุลของสีอ้อมเป็นไปได้ยาก และสีอ้อม Orange II มีขนาดมวลไม่เลกุลน้อยที่สุดทำให้การเคลื่อนที่ได้ง่ายกว่า

4.4.2 พนวิ่งการปลดปล่อยสีอ้อมแบบเฟสเดียว สีอ้อม Violet ให้ค่าการปลดปล่อยมากที่สุด ตามด้วยสีอ้อม Orange II และสีอ้อม Congo Red ให้ค่าการปลดปล่อยน้อยที่สุด ซึ่งให้ผลตรงกันข้ามกับขนาดมวลไม่เลกุลของสีอ้อมทั้ง 3 ชนิด แต่เมื่อพิจารณาถึงโครงสร้างประจุของไม่เลกุลของสีอ้อม Violet ที่มีประจุเป็นบวก จึงเกิดการดึงดูดระหว่างมวลไม่เลกุลที่มีประจุตรงข้ามกันไปยังแผ่นไฮโดรเจลดังเช่นการทดลองการดูดซึบ

จากการทดลองทั้งหมดสำหรับการปลดปล่อยไม่เลกุลของสีอ้อมออกจากแผ่นไฮโดรเจลแสดงให้เห็นว่า การนำสีอ้อมทั้ง 3 ชนิด ได้แก่ สีอ้อม Congo Red Orange II และ Violet ที่มีสมบัติทางโครงสร้างคล้ายคลึงกัน ซึ่งสีอ้อมที่เหมาะสมที่สุดสำหรับเป็นตัวเปรียบเทียบแทนตัวยา คือ สีอ้อม Orange II แม้ว่าการปลดปล่อยแบบเฟสเดียวให้ค่าการปลดปล่อยน้อยกว่าสีอ้อม Violet แต่เนื่องด้วยสีอ้อม Violet มีคุณสมบัติในการย้อมติดสีมากเกิน สีอ้อม Orange II จึงเป็นตัวที่เหมาะสมที่เพื่อประโยชน์ใช้ในการเปรียบเทียบแทนตัวยาต่อไป

4.5 ผลกระทบของความเข้มข้นเริ่มต้น

สำหรับการดูดซับของสีเย้อมทั้ง 3 ชนิด คือ สีเย้อม Congo Red Orange II และ Violet การเพิ่มความเข้มข้นเริ่มต้นทำให้ปริมาณดูดซับมากยิ่งขึ้น และดังในตารางที่ 4.1 เนื่องมาจากการเพิ่มความเข้มข้นของสารละลายสีเย้อม เป็นการเพิ่มแรงขับดันให้กับการถ่ายเทมวลซึ่งเกิดขึ้นเนื่องจากความแตกต่างระหว่างความเข้มข้นทั้งสองเฟส

สำหรับการลดปล่อยโมเลกุลของสีเย้อมทั้ง 3 ชนิด สีเย้อม Congo Red Orange II และ Violet ทั้งการลดปล่อยแบบเฟสเดียวและแบบสองเฟส เมื่อเพิ่มความเข้มข้นเริ่มต้น จาก 0.01 %w/v เป็น 0.05 0.1 และ 1 %w/v พบร่วงปริมาณการลดปล่อยแบบทั้งสองมีค่าเพิ่มขึ้นเช่นเดียวกับการทดลองการดูดซับที่กล่าวไว้



บทที่ 5

บทสรุปและข้อเสนอแนะ

5.1 สรุปผลการทดลอง

จากการศึกษาการดูดซึมและการปลดปล่อยโมเลกุลของสีเย้อมที่ความเข้มข้นการดูดซึบเริ่มต้น 0.01 0.05 0.1 และ 1 %w/v ได้ผลดังนี้

5.1.1 การศึกษาการดูดซึบของแผ่นไฮโดรเจล

เมื่อเลือกพิจารณาค่าที่แม่นยำมากที่สุด จากการทดลองการดูดซึบสีเย้อมทั้ง 3 ชนิด คือ สีเย้อม Cong Red Orange II และ Violet ที่ความเข้มข้นการดูดซึบเริ่มต้น 0.01 %w/v พบร่วมสีเย้อม Congo Red ให้ค่าการดูดซึบน้อยสุด คือ 0.252 mg/100 ml สีเย้อม Orange II คือ 1.945 mg/100 ml และสีเย้อม Violet ให้ค่าการดูดซึบมากที่สุด คือ 3.587 mg/100 ml จะเห็นว่าการวัดค่าการดูดกลืนแสงของสีเย้อม Violet มีจำนวนพิคมากกว่าหนึ่งพิค ซึ่งส่งผลให้เกิดค่าผิดพลาดในการทดลอง

5.1.2 การศึกษาการปลดปล่อยโมเลกุลสีเย้อมทั้ง 3 ชนิด

5.1.2.1 การศึกษาการปลดปล่อยโมเลกุลสีเย้อมแบบสองเฟส

จากการทดลองเร้าพิจารณาการปลดปล่อยโมเลกุลสีเย้อมที่ความเข้มข้นการดูดซึบเริ่มต้นที่ 0.01 %w/v เพราะให้ค่าพิคการดูดกลืนแสงเพียงพิคเดียวซึ่งจากการทดลองจะเห็นว่า สีเย้อม Orange II ให้ค่าการปลดปล่อยมากที่สุด คือ 1.511 mg/100 ml ตามด้วยสีเย้อม Violet มีค่า 0.144 mg/100 ml และสีเย้อม Congo Red ให้ค่าการปลดปล่อยน้อยสุด คือ 0.0798 mg/100 ml ซึ่งแสดงถึงความต่างของโมเลกุลที่กล่าวไว้ว่า ขนาดโมเลกุลใหญ่จะทำให้การเคลื่อนที่ของโมเลกุลค่อนข้างช้าและน้อยมาก

5.1.2.2 การศึกษาการปลดปล่อยโมเลกุลสีเย้อมแบบเฟสเดียว

จากการทดลองเร้าพิจารณาการปลดปล่อยโมเลกุลของสีเย้อมที่ความเข้มข้นการดูดซึบเริ่มต้นที่ 0.01 %w/v เพราะให้ค่าพิคการดูดกลืนแสงแค่พิคเดียว ซึ่งจากการทดลองพบว่า การปลดปล่อยโมเลกุลของสีเย้อม Violet ให้ค่ามากที่สุด อาจเป็นเพราะว่าด้วยโครงสร้างของมวลโมเลกุลของสีเย้อม Violet ให้ความสามารถการย้อมติดไฮโดรเจลได้ดีกว่าสีเย้อมทั้ง 2 ชนิด เนื่องจากสีเย้อม Violet อยู่ในจำพวกสีเย้อมชนิด เบสิก (Basic) ซึ่งมีความสามารถย้อมติดได้ดีกว่าสีเย้อมชนิดเอสิด (Acid)

5.2 ปัญหาและข้อเสนอแนะ

5.2.1 ควรจะลดปริมาณความเข้มข้นสำหรับการทดลองการศึกษานี้เพื่อที่จะให้ตัวเครื่องสามารถอ่านค่าได้แม่นยำกว่านี้ เพราะว่าตัวเครื่อง UV-Vis Spectrophotometer ไม่สามารถวัดสารตัวอย่างที่ความเข้มข้นสูงได้ ซึ่งจะทำให้การวัดสารมีค่าผิดพลาด

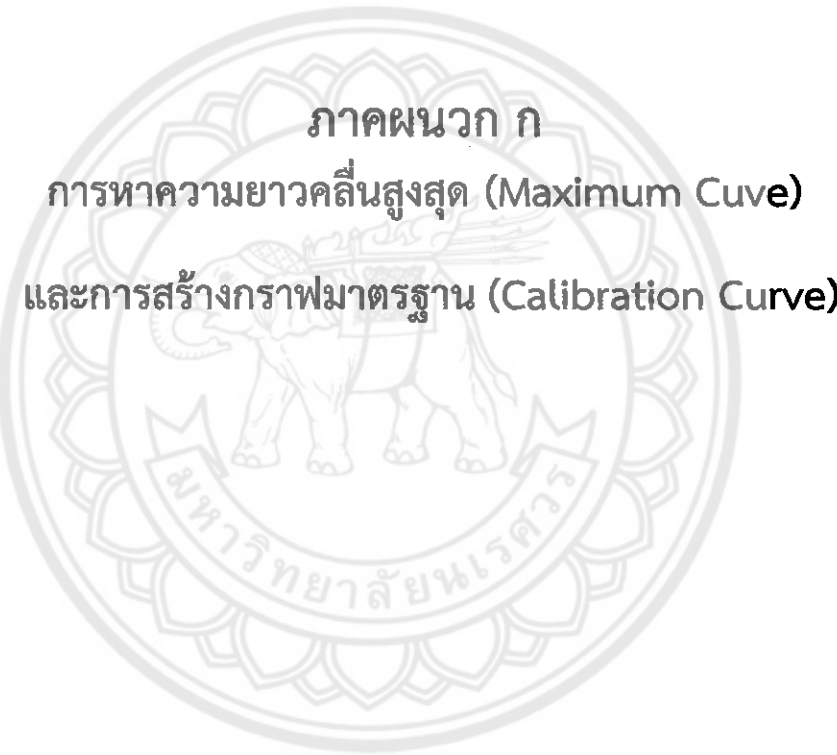
5.2.2 ในกรณีถ้ามีการลดความเข้มข้นการดูดซับเริ่มต้นต่ำกว่า 0.01 %w/v อาจจะมีการเพิ่มการปั่นกวนสารตัวอย่างสำหรับการทดลองการปลดปล่อยโมเลกุลของสีย้อมทั้ง 3 ชนิด เพื่อเป็นการกระตุ้นให้สารละลายสีย้อมที่อยู่ในไฮโดรเจลสามารถปลดปล่อยได้มาก

5.2.3 ในกรณีการทดลองเพื่อทำการฟามาตรฐานของสารละลายสีย้อมทั้ง 3 ชนิด จากการทดลองเราจะเห็นว่า ช่วงของค่าการดูดกลืนแสงกับความเข้มข้นของสารละลายสีย้อมไม่เป็นไปตามเส้นตรงตลอดช่วงความเข้มข้น ดังนั้นในการวัดสารละลายสีย้อมเพื่อทำการฟามาตรฐาน ควรจะลดความเข้มข้นในการวัดลง เพราะว่าเครื่อง UV-Vis Spectrophotometer ไม่สามารถวัดสารตัวอย่างที่ความเข้มข้นสูงๆ ได้



เอกสารอ้างอิง

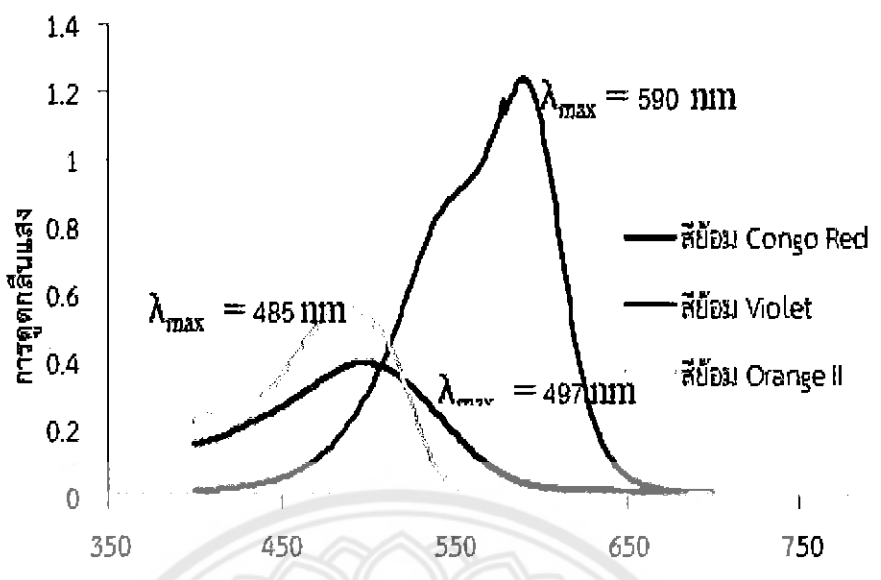
- [1] ศรัณย์ อุ่นทวี. (2549). การประยุกต์ใช้สารประกอบเซลลูโลสจากแบคทีเรียกับพอลิเมอร์รرمชาติเพื่อผลิตผ้าฝ้าย. ภาควิชาเคมีโนโลยีชีวภาพ คณะวิทยาศาสตร์และเทคโนโลยีมหาวิทยาลัยธรรมศาสตร์.
- [2] เเรเนอร์. (2004). วิวัฒนาการของไฮโดรเจลสังเคราะห์. สืบคันเมื่อ 30 กรกฎาคม 2556, จาก http://archive.lib.cmu.ac.th/full/T/2552/chem0352pj_ch1.pdf.
- [3] รายงานวิจัย. การประยุกต์ใช้ผ้าฝ้ายไฮโดรเจล. สืบคันเมื่อ 1 สิงหาคม 2556, จาก http://archive.lib.cmu.ac.th/full/T/2552/chem0352pj_ch1.pdf.
- [4] สารเคมีในผลิตภัณฑ์สียวัตถุ. สืบคันเมื่อ 1 สิงหาคม 2556, จาก <http://comptox.sci.ku.ac.th/dyes.php>.
- [5] อ. ทัศวัลย์. (2556). หลักการแพร์ของสาร. สืบคันเมื่อ 2 สิงหาคม 2556, จาก <http://webstaff.kmutt.ac.th/~itasapun/PHY321>.
- [6] กิตติญาณ และคณะ. (2555). หลักการทำงาน UV-Vis Spectrophotometer. สถาบันวัตกรรมการเรียนรู้ มหาวิทยาลัยมหิดล. สืบคันเมื่อ 6 สิงหาคม 2556, จาก http://www.il.mahidol.ac.th/imedia/color-light/page4_3.html.
- [7] เสาวภาคย์ และคณะ. (2555). การดูดกลืนแสง. สถาบันวัตกรรมการเรียนรู้ มหาวิทยาลัยมหิดล. สืบคันเมื่อ 6 สิงหาคม 2556, จาก <http://www.il.mahidol.ac.th/e-media/color-light/content.html>.
- [8] สุชาดา และคณะ (2549). ศึกษาการปลดปล่อยและการซึมผ่านผิวน้ำแข็งของรูปแบบยาเตรียม (ฟิล์ม) Methimazole สำหรับนำส่งยาทางผิวน้ำ. คณะเภสัชศาสตร์ มหาวิทยาลัยศิลปากร.
- [9] Dilek Solpan. (2008). Adsorption of Apollo reactive dyes on poly (N,N dimethylamino ethylmethacrylate) hydrogels. **Radiation Physics and Chemistry**. Vol. 77, pp. 428-433.
- [10] R. Molloy. (2007). Design and Preparation of AMPS-Based Hydrogels for Biomedical Use as Wound Dressings. **Chiang Mai J. Sci.** Vol. 34, pp. 183-189.
- [11] Biological. โครงสร้างโมเลกุลสียวัตถุ (Molecular structure of dyes) และโครงสร้างโมเลกุลยา (Molecular structure of drug). สืบคันเมื่อ 3 สิงหาคม 2556, จาก <http://www.sigmaaldrich.com/catalog/product/sigma/c6277?lang=en®ion=TH>.



ภาคผนวก ก

การหาความยาวคลื่นสูงสุด (Maximum Cuve)

และการสร้างกราฟมาตรฐาน (Calibration Curve)



รูปที่ ก.1 ความยาวคลื่นสูงสุดของสีอ่อนทั้งสามชนิด

ตารางที่ ก.1 ข้อมูลการสร้างกราฟมาตรฐานของสีเย็บ Congo Red

ความเข้มข้น (mg/100 ml)	ค่าการดูดกลืนแสง			ค่าเฉลี่ย (X)	ค่าเบี่ยงเบนมาตรฐาน (SD)
	ครั้งที่ 1	ครั้งที่ 2	ครั้งที่ 3		
10	2.698	2.719	2.703	2.707	0.011
8	2.600	2.51	2.650	2.587	0.071
6	2.551	2.554	2.452	2.519	0.058
4	1.856	1.988	1.946	1.930	0.067
2	1.084	1.086	1.026	1.065	0.034
1	0.559	0.557	0.652	0.589	0.054
0.8	0.463	0.454	0.460	0.459	0.005
0.6	0.310	0.306	0.315	0.310	0.005
0.4	0.201	0.236	0.210	0.216	0.018
0.2	0.117	0.121	0.133	0.124	0.008
0.1	0.059	0.062	0.071	0.064	0.006
0.08	0.047	0.051	0.050	0.049	0.002
0.05	0.025	0.032	0.024	0.027	0.004
0.04	0.022	0.028	0.020	0.023	0.004
0.02	0.011	0.014	0.019	0.015	0.004
0.01	0.001	0.014	0.012	0.009	0.007
0.005	0.003	0.004	0.007	0.005	0.002
0.001	0.003	0.001	0.005	0.003	0.002
0	0.000	0.001	0.002	0.001	0.001

ตารางที่ ก.2 ข้อมูลการสร้างกราฟมาตรฐานของสีเย้ม Orange II

ความเข้มข้น (mg/100 ml)	ค่าการดูดกลืนแสง			ค่าเฉลี่ย (X)	ค่าเบี่ยงเบนมาตรฐาน (SD)
	ครั้งที่ 1	ครั้งที่ 2	ครั้งที่ 3		
10	2.721	2.723	2.727	2.724	0.003
8	2.689	2.691	2.711	2.697	0.012
6	2.620	2.54	2.654	2.605	0.059
4	2.018	2.022	2.033	2.024	0.008
2	1.149	1.023	1.056	1.076	0.065
1	0.603	0.620	0.630	0.618	0.014
0.8	0.495	0.421	0.490	0.469	0.041
0.6	0.321	0.326	0.323	0.323	0.003
0.4	0.227	0.230	0.225	0.227	0.003
0.2	0.129	0.132	0.113	0.125	0.010
0.1	0.088	0.085	0.083	0.085	0.003
0.08	0.049	0.061	0.055	0.055	0.006
0.05	0.041	0.049	0.044	0.045	0.004
0.04	0.032	0.035	0.038	0.035	0.003
0.02	0.016	0.027	0.022	0.022	0.006
0.01	0.010	0.010	0.012	0.011	0.001
0.005	0.007	0.011	0.007	0.008	0.002
0.001	0.003	0.007	0.005	0.005	0.002
0	0.002	0.001	0.000	0.001	0.001

ตารางที่ ก.3 ข้อมูลการสร้างกราฟมาตรฐานของสีเย็บ Violet

ความเข้มข้น (mg/100 ml)	ค่าการตัดกืนแสง			ค่าเฉลี่ย (X)	ค่าเบี่ยงเบนมาตรฐาน (SD)
	ครั้งที่ 1	ครั้งที่ 2	ครั้งที่ 3		
10	2.325	2.249	2.443	2.339	0.098
8	2.221	2.199	2.228	2.216	0.015
6	2.191	2.197	2.186	2.191	0.006
4	2.172	2.174	2.169	2.172	0.003
2	2.056	2.004	2.011	2.024	0.028
1	0.963	0.942	0.950	0.952	0.011
0.8	0.740	0.613	0.802	0.718	0.096
0.6	0.523	0.439	0.491	0.484	0.042
0.4	0.332	0.269	0.312	0.304	0.032
0.2	0.128	0.135	0.130	0.131	0.004
0.1	0.125	0.096	0.089	0.103	0.019
0.08	0.065	0.071	0.069	0.068	0.003
0.05	0.036	0.049	0.042	0.042	0.007
0.04	0.039	0.037	0.042	0.039	0.003
0.02	0.015	0.016	0.014	0.015	0.001
0.01	0.007	0.008	0.010	0.008	0.002
0.005	0.005	0.006	0.007	0.006	0.001
0.001	0.003	0.002	0.005	0.003	0.002
0	0.001	0.001	0.003	0.002	0.001



ภาควิชานวัตกรรม
ภาควิชานวัตกรรม

ตารางที่ ช.1 ผลของการดูดซับสีอ่อนเพี้ยน 3 ชนิดที่ความเข้มข้น 0.01 %W/V

% ความเข้มข้น(mg/ml)	ชนิดสีป้อม	ผ้าอย่างที่	ค่าคงที่ (kg/kg)		ความกางเกง (kg/kg)	ความเหลว (kg/kg)	น้ำหนัก (g)	ตุ่นบล็อก (24 ชั่วโมง)	ผลลัพธ์	ความเข้มข้น(mg/100 ml)
			เบสิก	เจล						
Congro Red	1	2.46	0.75	0.050	0.133	0.185			0.155	
	2	2.45	0.75	0.044	0.125	0.173	0.184	0.144		0.252
	3	2.47	0.76	0.054	0.138	0.193			0.152	
Orange I	1	2.48	0.79	0.040	0.132	0.177			0.945	
	2	2.5	0.76	0.040	0.125	0.131	0.164	0.177	0.934	
	3	2.48	0.77	0.050	0.135	0.191			0.912	
Violet	1	2.47	0.73	0.040	0.139	0.180			2.11*	
	2	2.5	0.74	0.050	0.147	0.141	0.135	0.173	0.183	
	3	2.43	0.76	0.050	0.124	0.195			2.11*	3.587

หมายเหตุ: สัญลักษณ์ (*) หมายถึง ค่าการดูดซึมและรูปทรงของวัสดุที่

ตารางที่ ภ.2 ผลของการตัดต่อแบบสัญญาณ 3 ชนิดที่ผลิตจากเครื่องรีโมท 0.05 %/W/V

% ความเรซซิฟชั่น (A/A ₀)		ชนิดสีเม็ด		ตัวอย่าง		ความมลภาวะ (mg/ml)		ความหมาด (g/g)		น้ำหนัก (g)		ถูกตัดส่วนต่อ (24 ชั่วโมง)	
		เกรด 1	เกรด 2	เกรด 3	เกรด 4	เกรด 5	เกรด 6	เกรด 7	เกรด 8	เกรด 9	เกรด 10	เกรด 11	เกรด 12
Congo Red	1	2.46	0.77	0.050	0.135	0.181	0.462						
	2	2.46	2.47	0.76	0.050	0.132	0.175	0.180	0.514	0.986			
	3	2.48	0.77	0.040	0.137	0.185	0.445						
Orange I	1	2.47	0.78	0.054	0.132	0.182	2.521*						
	2	2.45	2.46	0.76	0.050	0.128	0.173	0.180	2.496*	2.825			
	3	2.47	0.77	0.040	0.137	0.185	2.546*						
Violet	1	2.47	0.75	0.040	0.137	0.187	2.197*						
	2	2.47	2.48	0.75	0.047	0.131	0.183	0.183	2.154*	5.555			
	3	2.49	0.77	0.050	0.134	0.182	2.168*						

หมายเหตุ: ห้องน้ำส่วนตัว (*) หมายถึง ห้องน้ำติดกับห้องนอน

ตารางที่ ช.3 ผลของการทดสอบเบื้องต้น 3 ชนิดที่ความเข้มข้นเริ่มต้น 0.1 %พ./ว

% ความเข้มข้น(ล/ลบ)	ชนิดสีผสม	ตัวอย่างที่	ความเขียว (ก้า)		ความเขียว (ก้า)		น้ำหนัก (กรัม)	น้ำหนัก (กรัม)		น้ำหนัก (กรัม)	น้ำหนัก (กรัม)	น้ำหนัก (กรัม)
			เฉลี่ย	เฉลี่ย	เฉลี่ย	เฉลี่ย		เฉลี่ย	เฉลี่ย			
Congo Red	1	2.46	0.76	0.040	0.132	0.185	0.604	0.185	0.187	0.183	0.712	1.400
	2	2.45	2.46	0.75	0.050	0.137	0.134	0.137	0.177	0.177	0.652	
	3	2.46	0.76	0.054	0.132							
Orange I	1	2.47	0.74	0.040	0.135	0.184	0.598*	0.184	0.187	0.184	2.612*	5.451
	2	2.45	2.46	0.75	0.050	0.139	0.138	0.139	0.182	0.182	0.587*	
	3	2.46	0.76	0.050	0.141							
Violet	1	2.48	0.75	0.045	0.128	0.190	2.295*	0.190	0.192	0.192	2.275*	8.997
	2	2.45	2.47	0.78	0.040	0.137	0.134	0.137	0.186	0.186	0.275*	
	3	2.47	0.74	0.050	0.137	0.181	2.297*	0.137	0.137	0.137	2.297*	

หมายเหตุ: สัญลักษณ์ (*) หมายถึง ค่าการทดสอบน้ำหนักเฉลี่ยมากกว่าหนึ่งครั้ง

ตารางที่ ๔.4 ผลของการติดเชื้อมั่ง 3 ชนิดที่ความเข้มข้นเริ่มต้น 1 %W/V

% ความเข้มข้น (g/ml)	ชนิดสีอ่อน	ตัวอย่างที่	ความชื้น (ก้า)	ความกร้ำง (ก้า)	ความหนา (mm)	น้ำหนัก (g)	ถูดับสมุด (24 ชั่วโมง)	
			เบร์ลี	เบร์ลี	เบร์ลี	เบร์ลี	น้ำหนัก (g)	เบร์ลี
Congo Red	1	2.44	0.75	0.050	0.137	0.182	2.612*	
	2	2.45	0.74	0.040	0.134	0.189	2.598*	
	3	2.45	0.76	0.054	0.131	0.181	2.634*	
Orange I	1	2.45	0.75	0.040	0.136	0.185	2.697*	
	2	2.46	0.74	0.040	0.137	0.181	2.727*	5.451
	3	2.46	0.743	0.050	0.143	0.187	2.694*	
Violet	1	2.46	0.75	0.045	0.132	0.184	2.301*	
	2	2.47	0.79	0.040	0.045	0.127	0.185	2.298*
	3	2.48	0.77	0.050	0.131	0.176	2.402*	8.997

หมายเหตุ: สัญลักษณ์ (*) หมายถึง ค่าการถูกตัดและไม่สามารถวัดได้



ตารางที่ ค.1 ผลของการปฏิปฏิโภมเมกโนสีเขียว Congo Red แบบอุณหภูมิ

สำารถดักลิ่นและตรวจการประคบปลอกสีข้อมูลของสารเคมี										
1 ชั่วโมง			2 ชั่วโมง			カラムเพิ่มน้ำ			カラุมเพิ่มน้ำ	
	カラムเพิ่มน้ำ	カラムเพิ่มน้ำ	カラムเพิ่มน้ำ	カラムเพิ่มน้ำ	カラムเพิ่มน้ำ	カラムเพิ่มน้ำ	カラุมเพิ่มน้ำ	カラุมเพิ่มน้ำ	カラุมเพิ่มน้ำ	カラุมเพิ่มน้ำ
0.01 %w/v	0.044	0.010	0.045	0.012	0.052	0.028	0.065	0.057	0.078	0.087
	0.042	0.005	0.042	0.006	0.055	0.035	0.071	0.071	0.075	0.081
	0.04	0.001	0.04	0.001	0.049	0.022	0.068	0.064	0.071	0.072
0.05 %w/v	0.185	0.330	0.224	0.419	0.243	0.462	0.286	0.559	0.343	0.689
	0.174	0.305	0.192	0.346	0.23	0.433	0.272	0.528	0.325	0.649
	0.155	0.262	0.189	0.340	0.211	0.390	0.265	0.512	0.310	0.614
0.1 %w/v	0.316	0.628	0.368	0.746	0.423	0.871	0.462	0.959	0.531	1.117
	0.298	0.587	0.318	0.633	0.368	0.746	0.432	0.891	0.489	1.021
	0.275	0.534	0.358	0.724	0.402	0.823	0.418	0.859	0.518	1.087
1 %w/v	2.456	5.489	2.465	5.510	2.489	5.565	2.497	5.582	2.512	5.617
	2.432	5.435	2.452	5.480	2.472	5.526	2.479	5.541	2.536	5.671
	2.439	5.450	2.466	5.512	2.481	5.546	2.495	5.578	2.502	5.594

หมายเหตุ: カラムเพิ่มน้ำ หน่วย mg/100 ml

สัญลักษณ์ (*) หมายถึง カラムเพิ่มน้ำที่ไม่สามารถกว้างหนึ่งพอน

ตารางที่ ค.2 ทดสอบการปลดปล่อยเมล็ดกลีเซอร์อล Orange II แบบอ่องเอนส์

ค่าการดูดซึมน้ำและน้ำยาของสารประกอบเพื่อเบื้องต้นแบบอ่องเอนส์										
	1 ชั่งโมง	ความเข้มข้น	2 ชั่งโมง	ความเข้มข้น	5 ชั่งโมง	ความเข้มข้น	8 ชั่งโมง	ความเข้มข้น	24 ชั่งโมง	ความเข้มข้น
0.01 %w/v	0.242	0.432	0.328	0.622	0.336	0.639	0.539	1.084	0.745	1.537
	0.235	0.417	0.326	0.617	0.347	0.663	0.548	1.104	0.739	1.524
0.05 %w/v	0.247	0.443	0.319	0.602	0.342	0.652	0.545	1.098	0.715	1.472
	1.043	2.191	1.302	2.761	1.684	3.600	1.958	4.201	2.457*	5.298
0.1 %w/v	0.95	1.987	1.225	2.592	1.552	3.310	1.85	3.964	2.439*	5.258
	0.82	1.702	1.205	2.548	1.45	3.086	1.762	3.771	2.441*	5.262
1 %w/v	1.505	3.206	2.142	4.606	2.193	4.718	2.214	4.763	2.562*	5.528
	1.552	3.309	2.004	4.303	2.024	4.347	2.165	4.656	2.557*	5.517
2.544*	1.691	3.615	2.227	4.792	2.124	4.566	2.057	4.419	2.548*	5.497
	2.589*	5.587	2.592*	5.594	2.591*	5.592	2.610*	5.633	2.665*	7.673
2.549*	5.488	5.488	2.556*	5.515	2.567*	5.539	2.586*	5.580	2.688*	8.448
	5.499	5.499	2.563*	5.530	2.571*	5.548	2.598*	5.607	2.664*	7.640

หมายเหตุ: ความเข้มข้น หน่วย mg/100 ml

สัญลักษณ์ (*) หมายถึง ค่าการดูดซึมน้ำยาที่มากกว่าค่าที่กำหนด

ตารางที่ ๗.๓ ผลการปฏิปฏิโภณเมล็ดสีลม Violet แบบสูงๆ

ค่าการติดตั้งในแมลงของยาปฏิชีวิตรองพลาสติก									
	1 ชั่วโมง	2 ชั่วโมง	5 ชั่วโมง	8 ชั่วโมง	12 ชั่วโมง	24 ชั่วโมง	48 ชั่วโมง	72 ชั่วโมง	ความ ชื้น
0.01 %w/v	0.074	0.098	0.074	0.098	0.081	0.105	0.102	0.126	0.113
	0.065	0.089	0.071	0.095	0.074	0.098	0.097	0.121	0.113
	0.082	0.106	0.085	0.109	0.097	0.122	0.117	0.141	0.132
0.05 %w/v	2.126*	0.416	2.122*	0.404	2.139*	0.455	2.142*	0.463	2.159*
	2.121*	0.401	2.137*	0.449	2.128*	0.422	2.131*	0.430	2.141*
	2.114*	0.380	2.105*	0.354	2.117*	0.389	2.124*	0.410	2.134*
0.1 %w/v	2.160*	0.516	2.162*	0.523	2.169*	0.544	2.176*	0.564	2.198*
	2.158*	0.510	2.139*	0.455	2.146*	0.475	2.172*	0.552	2.181*
	2.124*	0.410	2.151*	0.490	2.157*	0.508	2.151*	0.490	2.134*
1 %w/v	2.236*	0.742	2.237*	0.745	2.245*	0.769	2.249*	0.781	2.248*
	2.210*	0.665	2.214*	0.677	2.219*	0.692	2.223*	0.703	2.296*
	2.234*	0.736	2.229*	0.722	2.234*	0.736	2.238*	0.748	2.272*

หมายเหตุ: ความชื้นชั่วโมง หน่วย mg/100 ml

สัญลักษณ์ (*) หมายถึง ค่าการติดตั้งกลืนและสูงมากกว่าหนึ่งพืด



ภาควิชานวัตกรรม

ตารางแสดงการปลดปล่อยโมเลกุลสีย้อมแบบเฟสเดียว

ตารางที่ ๔.๑ ผลของการปรับลดปริมาณเชื้อราเมือง Congo Red บนเซลล์เชื้อรา

ค่าการตัดสินแมลงช่วงการปลูกป้องศัตรูที่ต้องแบ่งเป็นสองส่วน									
	1 ชั่วโมง	ความเสี่ยงทึบ	2 ชั่วโมง	ความเสี่ยงทึบ	5 ชั่วโมง	ความเสี่ยงทึบ	8 ชั่วโมง	ความเสี่ยงทึบ	24 ชั่วโมง
0.01 %w/v	0.041	0.003	0.041	0.003	0.04	0.001	0.04	0.001	0.069
	0.039	-0.001	0.04	0.001	0.045	0.008	0.045	0.012	0.065
	0.040	0.001	0.039	-0.001	0.038	-0.003	0.042	0.005	0.064
0.05 %w/v	0.155	0.262	0.162	0.278	0.184	0.328	0.192	0.346	0.219
	0.146	0.241	0.151	0.253	0.171	0.299	0.185	0.330	0.206
	0.126	0.196	0.131	0.208	0.178	0.315	0.178	0.314	0.191
0.1 %w/v	0.176	0.310	0.186	0.333	0.198	0.360	0.214	0.396	0.247
	0.141	0.230	0.165	0.285	0.164	0.283	0.196	0.355	0.212
	0.132	0.210	0.159	0.271	0.184	0.328	0.174	0.305	0.235
1 %w/v	1.397	3.083	1.536	3.400	1.982	4.413	2.312	5.162	2.422*
	1.102	2.413	1.522	3.368	1.758	3.904	2.012	4.480	2.488*
	1.312	2.890	1.654	3.668	1.895	4.215	2.223	4.960	2.395*

ମୁଖ ଦେଖିଲୁଛି କିମ୍ବା ପରିଚାରକ ହେଲାଏବେ

မြန်မာတော်ဝါယာရှင်များအပေါ်မြတ်စွာလုပ်သည့် မြန်မာအောင်ဆိုရေး (*)

ตารางที่ ๔.๒ ทดสอบการปฏิปฏิโภณ์เคมีสีส้ม Orange II แบบเพาเดียร์

ค่าการดูดซึมน้ำของสารประกอบเหลืองเมนะเพาเดียร์										
	1 ชั่วโมง	ความเข้มข้น	2 ชั่วโมง	ความเข้มข้น	5 ชั่วโมง	ความเข้มข้น	8 ชั่วโมง	ความเข้มข้น	24 ชั่วโมง	ความเข้มข้น
0.01 %w/v	0.052	0.015	0.061	0.035	0.098	0.116	0.209	0.360	0.432	0.850
	0.046	0.002	0.056	0.024	0.112	0.147	0.215	0.373	0.424	0.832
	0.055	0.021	0.058	0.029	0.102	0.125	0.214	0.371	0.411	0.804
0.05 %w/v	0.142	0.213	0.211	0.365	0.275	0.505	0.349	0.667	0.496	0.911
	0.135	0.197	0.224	0.393	0.265	0.483	0.335	0.636	0.469	0.931
	0.121	0.166	0.198	0.336	0.263	0.479	0.328	0.621	0.457	0.905
0.1 %w/v	0.462	0.915	0.486	0.969	0.768	1.588	1.102	2.321	1.742	3.727
	0.482	0.959	0.542	1.092	0.692	1.421	1.072	2.255	1.693	3.620
	0.389	0.755	0.598	1.215	0.712	1.465	0.984	2.062	1.653	3.532
1 %w/v	2.498*	2.050	2.512*	2.522	2.524*	2.926	2.553*	3.902	2.556*	4.003
	2.479*	1.410	2.506*	2.320	2.516*	2.657	2.528*	3.060	2.563*	4.239
	2.485*	1.612	2.511*	2.488	2.519*	2.758	2.545*	3.632	2.539*	3.431

หน่วย: ความเข้มข้น หน่วย mg/100 ml

สัญลักษณ์ (*) หมายถึง ค่าการดูดซึมน้ำของสารเมะนาคที่ใช้พิสัย

ตารางที่ ๑.๓ ผลทดสอบปรับอัลกอริทึม Violet แบบสตีลิ่ว

ค่าการดูดซึมน้ำยาบนพื้นผิวสีของเม็ดพลาสติก														
	1 ชั่วโมง	ความเข้มข้น	2 ชั่วโมง	ความเข้มข้น	5 ชั่วโมง	ความเข้มข้น	8 ชั่วโมง	ความเข้มข้น	24 ชั่วโมง	ความเข้มข้น	48 ชั่วโมง	ความเข้มข้น	72 ชั่วโมง	ความเข้มข้น
0.01 %w/v	1.01	1.044	1.24	1.277	1.289	1.326	1.356	1.393	1.679	1.720	1.681	1.722	1.679	1.720
	0.986	1.020	1.096	1.131	1.346	1.384	1.435	1.473	1.623	1.664	1.622	1.663	1.623	1.664
	1.041	1.075	1.112	1.147	1.325	1.363	1.421	1.459	1.584	1.624	1.581	1.621	1.585	1.625
0.05 %w/v	2.125*	0.413	2.120*	0.398	2.136*	0.446	2.141	0.460	2.149*	0.484	2.151	0.490*	2.148	0.484*
	2.119*	0.395	2.131*	0.431	2.125*	0.413	2.135	0.442	2.143*	0.466	2.141	0.461*	2.146	0.466*
	2.100*	0.338	2.101*	0.342	2.108*	0.363	2.116	0.386	2.127*	0.419	2.126	0.416*	2.125	0.419*
0.1 %w/v	2.125*	0.413	2.165*	0.532	2.169*	0.544	2.176	0.564	2.227*	0.716	2.229	0.722*	2.214	0.716*
	2.126*	0.416	2.119*	0.395	2.128*	0.422	2.154	0.499	2.193*	0.630	2.193	0.615*	2.165	0.630*
	2.113*	0.377	2.134*	0.440	2.149*	0.484	2.135	0.442	2.195*	0.621	2.199	0.633*	2.151	0.621*
1 %w/v	2.231*	0.727	2.235*	0.739	2.239*	0.751	2.245	0.769	2.227*	0.716	2.223	0.704*	2.225	0.716*
	2.184*	0.588	2.178*	0.570	2.182*	0.582	2.186	0.594	2.276*	0.861	2.278	0.867*	2.279	0.861*
	2.214*	0.677	2.219*	0.692	2.221*	0.698	2.22	0.694	2.224*	0.707	2.224	0.707*	2.221	0.707*

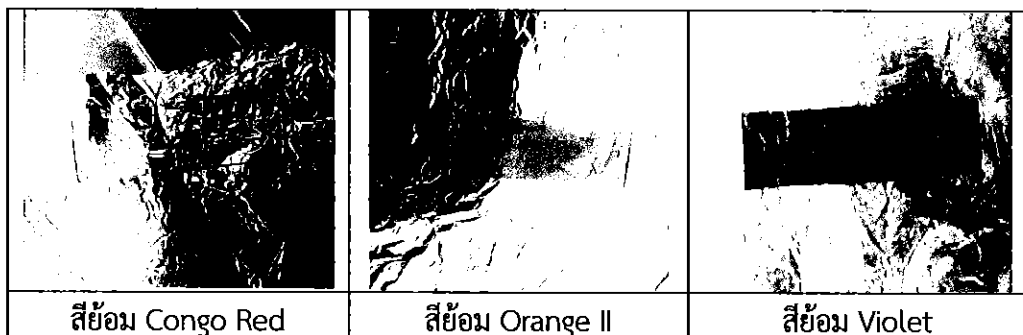
หมายเหตุ: ความเข้มข้น หน่วย กก./100 ml

สัญลักษณ์ (*) หมายถึง ค่าการดูดซึมน้ำยาที่มากกว่าหนึ่งพคร



ภาคผนวก จ

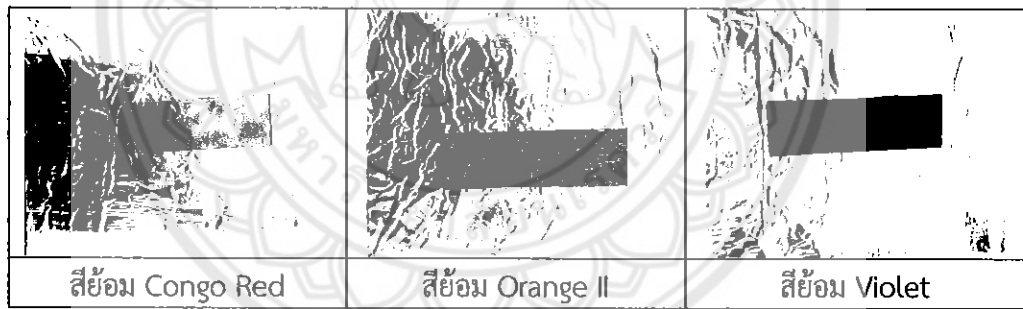
ชิ้นงานในการดูดซับโมเลกุลของสียอมทั้ง 3 ชนิด



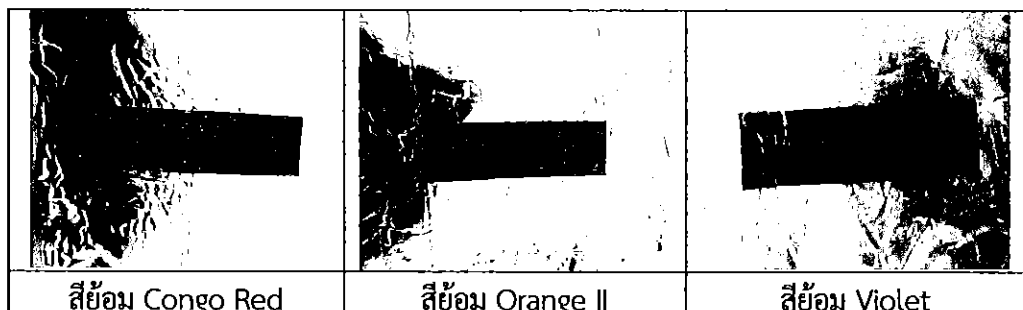
รูปที่ จ.1 การดูดซึบโนเลกุลของสีเย้อมที่ความเข้มข้นเริ่มต้น 0.01 %w/v ที่เวลาสามดูล 24 ชั่วโมง



รูปที่ จ.2 การดูดซึบโนเลกุลของสีเย้อมที่ความเข้มข้นเริ่มต้น 0.05 %w/v ที่เวลาสามดูล 24 ชั่วโมง



รูปที่ จ.3 การดูดซึบโนเลกุลของสีเย้อมที่ความเข้มข้นเริ่มต้น 0.1 %w/v ที่เวลาสามดูล 24 ชั่วโมง



รูปที่ จ.4 การดูดซึบโนเลกุลของสีเย้อมที่ความเข้มข้นเริ่มต้น 1 %w/v ที่เวลาสามดูล 24 ชั่วโมง

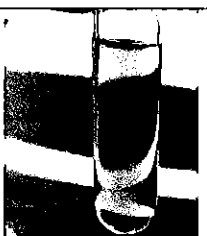
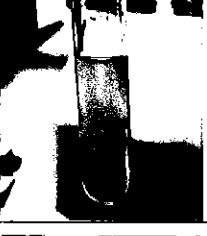
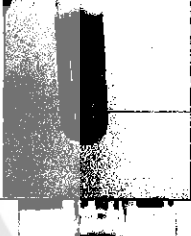
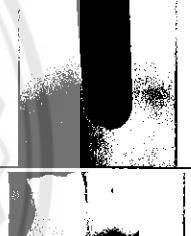
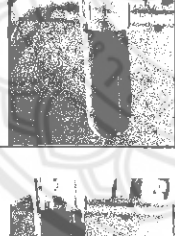
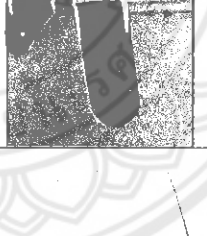
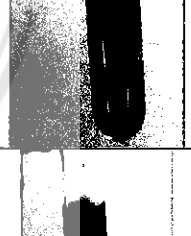
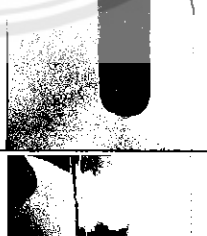
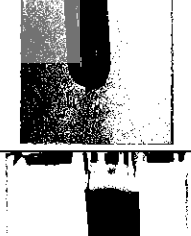
ภาคผนวก ฉ

ขั้นงานในการทดลองการปลดปล่อยไม่เลกุลของสีย้อมทั้ง 3 ชนิดแบบ
สองเพส

มหาวิทยาลัยนเรศวร

	สีย้อม Congo Red	สีย้อม Orange II	สีย้อม Violet
1 ชั่วโมง			
2 ชั่วโมง			
5 ชั่วโมง			
8 ชั่วโมง			
24 ชั่วโมง			
48 ชั่วโมง			
72 ชั่วโมง			

รูปที่ ฉ.1 การปลดปล่อยโมเลกุลของสีย้อมแบบสองเฟสที่ความเข้มข้นเริ่มต้นในการดูดซับ
0.01 %w/v

	สีเย้ม Congo Red	สีเย้ม Orange II	สีเย้ม Violet
1 ชั่วโมง			
2 ชั่วโมง			
5 ชั่วโมง			
8 ชั่วโมง			
24 ชั่วโมง			
48 ชั่วโมง			
72 ชั่วโมง			

รูปที่ ฉ.2 การปลดปล่อยโมเลกุลของสีเย้มแบบสองเฟสที่ความเข้มข้นเริ่มต้นในการคัดซับ 0.05 %w/v

	สีเย้ม Congo Red	สีเย้ม Orange II	สีเย้ม Violet
1 ชั่วโมง			
2 ชั่วโมง			
5 ชั่วโมง			
8 ชั่วโมง			
24 ชั่วโมง			
48 ชั่วโมง			
72 ชั่วโมง			

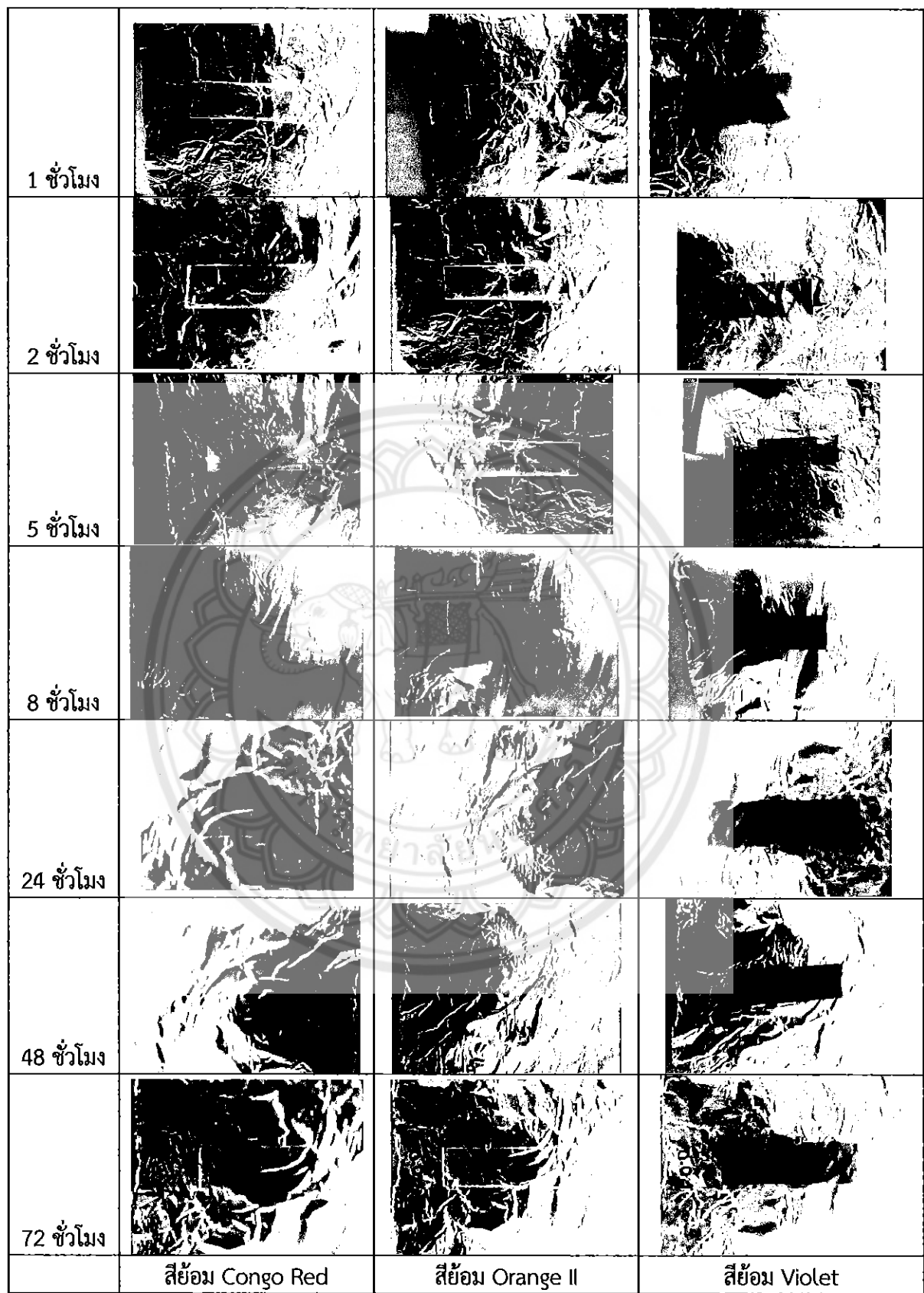
รูปที่ ฉ.3 การปลดปล่อยไมโครกลูของสีเย้มแบบสองเฟลที่ความเข้มข้นเริ่มต้นในการคุณซับ 0.1 %w/v

1 ชั่วโมง		
2 ชั่วโมง		
5 ชั่วโมง		
8 ชั่วโมง		
24 ชั่วโมง		
48 ชั่วโมง		
72 ชั่วโมง		
	สีเย้ม Orange II	สีเย้ม Violet

รูปที่ ฉ.4 การลดปล่อยโนเลกุลของสีเย้มแบบสองเฟสที่ความเข้มข้นเริ่มต้นในการดูดซับ 1 %w/v

ภาคผนวก ช

ขึ้นงานในการทดลองการปลดปล่อยโมเลกุลของสีย้อมทั้ง 3 ชนิดแบบ
เพสเดี่ยว



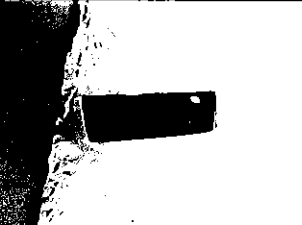
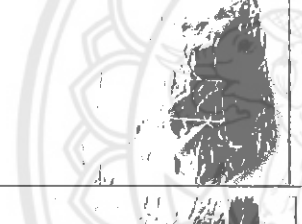
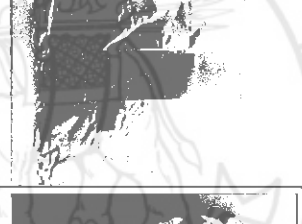
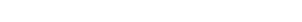
รูปที่ ช.1 การปลดปล่อยโมเลกุลของสีย้อมแบบเฟสเดียวที่ความเข้มข้นเริ่มต้นในการดูดซับ

0.01 %w/v

1 ชั่วโมง			
2 ชั่วโมง			
5 ชั่วโมง			
8 ชั่วโมง			
24 ชั่วโมง			
48 ชั่วโมง			
72 ชั่วโมง			
	สีเย้อม Congo Red	สีเย้อม Orange II	สีเย้อม Violet

รูปที่ ช.2 การลดปล่อยไม้เลกุลของสีเย้อมแบบเฟสเดียวที่ความเข้มข้นเริ่มต้นในการถูกซับ

0.05 %w/v

			
1 ชั่วโมง			
2 ชั่วโมง			
5 ชั่วโมง			
8 ชั่วโมง			
24 ชั่วโมง			
48 ชั่วโมง			
72 ชั่วโมง			
	สีเย้ม Congo Red	สีเย้ม Orange II	สีเย้ม Violet

รูปที่ ช.3 การปลดปล่อยโนเรกุลของสีเย้มแบบเพสเดียวยที่ความเข้มข้นเริ่มต้นในการคูดซับ

0.1 %w/v

ประวัติผู้ดำเนินโครงการ



ชื่อ นายพุฒิพงษ์ มหาชัย
ภูมิลำเนา 78 หมู่ 7 ต.น้ำร้อน อ.เมือง จ. เพชรบูรณ์
67000

ประวัติการศึกษา

- จบระดับมัธยมศึกษาจากโรงเรียนเพชรพิทยาคม
จ.เพชรบูรณ์
- ปัจจุบันกำลังศึกษาในระดับปริญญาตรีชั้นปีที่ 4
สาขาวิศวกรรมเคมี

คณะวิศวกรรมศาสตร์ มหาวิทยาลัยนเรศวร

E-mail: puttipongtum@gmail.com

